

Měsíční zpráva

Počasí, voda a ovzduší v ČR

Květen 2026

Iveta Kodádková (Oddělení operativní služby)

Lenka Stašová (Oddělení všeobecné klimatologie)

Veronika Šustková (Oddělení meteorologie a klimatologie Ostrava)

Barbora Kyclová (Oddělení hydrologických předpovědí)

Anna Lamačová, Radek Vlnas (Oddělení podzemních vod)

Hana Škáchová, Lucie Školoudová (Informační systém kvality ovzduší)

Obsah

KVĚTEN 2026 na území ČR	3
1 Synoptická situace	4
2 Klimatologické hodnocení	5
2.1 Teplota vzduchu	5
2.2 Srážky	7
2.3 Sluneční svit	9
3 Hydrologická situace	10
3.1 Povrchové vody	10
3.2 Podzemní vody	15
4 Kvalita ovzduší	23
4.1 Rozptylové podmínky	23
4.2 Suspendované částice PM ₁₀	24
4.3 Suspendované částice PM _{2,5}	27
4.4 Přízemní ozon O ₃	30
4.5 Ostatní látky	33
4.6 Index kvality ovzduší	35
4.7 Smogový a varovný regulační systém	36

KVĚTEN 2026 NA ÚZEMÍ ČR

Květen 2026 na území ČR hodnotíme jako teplotně nadnormální a srážkově normální měsíc. Průměrná měsíční teplota vzduchu na území ČR (14,2 °C) byla o 1,1 °C vyšší než normál 1991–2020. V řadě průměrných květnových teplot od roku 1961 se květen 2026 řadí jako 12. až 13. nejteplejší společně s rokem 1969. Vůbec nejvyšší květnová průměrná teplota (16,2 °C) byla zaznamenána v květnu 2018 a naopak nejnižší (8,9 °C) v roce 1991.

V průměru na našem území spadlo 57 mm srážek (81 % srážkového normálu 1991–2020). Průměrná délka slunečního svitu na území ČR byla tento měsíc 259,3 hodiny, což činí 120 % normálu 1991–2020.

V květnu se průměrná denní teplota vzduchu na území ČR střídavě pohybovala nad a pod hodnotou normálu. První letní den letošního roku, kdy maximální denní teplota vzduchu byla 25 °C a více, jsme zaznamenali dne 2. května na 45 stanicích standardní staniční sítě ČHMÚ. První tropický den, kdy maximální denní teplota vzduchu byla 30 °C a více, byl zaznamenán dne 23. května na stanici Doksany (30,7 °C).

Průměrný srážkový úhrn na území Čech byl 55 mm (81 % normálu) a na území Moravy a Slezska 61 mm (82 % normálu). Nejvíce srážek spadlo na severozápadě republiky, zejména v Krušných horách. Nejvíce srážek spadlo ve dnech 11. a 31. května. Srážky v květnu byly dešťové, pouze v nejvyšších polohách hor ojediněle sněhové. Byly zaznamenány bouřky i kroupy.

Z odtokového hlediska byl květen převážně podprůměrným až výrazně podprůměrným měsícem téměř ve všech hlavních povodích. Průměrné měsíční průtoky se na většině sledovaných toků v květnu nejčastěji pohybovaly v rozmezí od 15 do 60 % Q_v . Hladiny sledovaných toků byly v průběhu května převážně setrvalé nebo zvolna klesající, přechodně byly rozkolísané vlivem srážek a lokálních bouřek. Počet profilů s indikací hydrologického sucha se v průběhu května postupně navyšoval. Krátkodobě byl dosažen 1. SPA na Sázavě ve stanici Sázava a vlivem manipulace také na Bělé v Boskovicích.

Stav podzemní vody v mělkém oběhu se v květnu zhoršil na mimořádně podnormální. Z hlediska hladiny v mělkých vrtech se jednalo o druhý nejsušší květen od roku 1981 (sušší byl pouze květen 2020). Mimořádně podnormální byla i vydatnost pramenů, která byla v dokonce nejnižší od roku 1981 (v porovnání s květnovými hodnotami). Stav hladiny hlubokých vrtů byl mimořádně podnormální.

V porovnání s 30letým průměrem 1991–2020 byly v květnu výrazně zhoršené rozptylové podmínky. Za období 2016–2026 byla květnová hodnota celorepublikových měsíčních průměrů koncentrací PM_{10} v roce 2026 pátá nejnižší, koncentrací $PM_{2,5}$ nejnižší a hodnota celorepublikových měsíčních průměrů max. 8hod. koncentrací O_3 čtvrtá nejnižší.

Níže uvedené údaje jsou pouze předběžné a mohou se ještě měnit, neboť data nebyla kompletně verifikována. Z důvodů procesu zpracování dat jsou do měsíčních hodnocení zahrnuta pouze neverifikovaná data z automatizovaných stanic.

1 SYNOPTICKÁ SITUACE¹

V květnu 2026 převažovala v prostoru Atlantik – Evropa meridionální cirkulace, která trvala po celou první dekádu a po většinu dekády druhé. Třetí dekáda měsíce měla smíšený charakter proudění s převládající zonální složkou.

Zpočátku května se přes střední Evropu přesouvala k jihovýchodu tlaková výše, po jejíž zadní straně k nám proudil teplý vzduch od jihu. V druhé polovině první květnové dekády ovlivňovala počasí ve střední Evropě zvlněná studená fronta a jen zvolna postupovala přes naše území dále k východu. V závěru první dekády do střední Evropy přechodně rozšířil výběžek vyššího tlaku vzduchu a následně nad naše území proudil po přední straně brázdy nízkého tlaku nad západní Evropou teplejší vzduch od jihu.

Na začátku druhé dekády přes střední Evropu postupovala k východu studená fronta, za kterou nad naše území pronikl studený a vlhký vzduch od severozápadu. Následně k nám krátce od západu zasahoval nevýrazný výběžek vyššího tlaku vzduchu. Uprostřed druhé dekády se nad severní Itálií prohloubila tlaková výše, která postupovala zvolna k východu, a s ní spojené frontální rozhraní ovlivňovalo počasí u nás. V závěru druhé dekády k nám zasahoval nevýrazný výběžek vyššího tlaku vzduchu a od západu postupoval do střední Evropy slábnoucí frontální systém, který částečně ovlivnil počasí u nás.

Po většinu třetí dekády ovlivňovala počasí u nás tlaková výše se středem nad západní, postupně střední Evropou. Zpočátku třetí dekády ale počasí u nás ovlivňovala okluzní fronta, která se nad naším územím rozpadala. V průběhu třetí dekády přecházely přes naše území po okraji vysokého tlaku vzduchu od severu slábnoucí studené fronty.

¹ proudění meridionální je proudění ve směru podél poledníků, tj. od severu k jihu nebo naopak
proudění zonální je proudění vzduchu podél rovnoběžek ve směru západ-východ
proudění vzduchu podél rovnoběžek ve směru východ-západ se většinou označuje jako východní (negativní) zonální proudění
<http://slovník.cmes.cz>

2 KLIMATOLOGICKÉ HODNOCENÍ

2.1 Teplota vzduchu

Květen 2026 hodnotíme jako teplotně nadnormální. Průměrná měsíční teplota vzduchu na území ČR (14,2 °C) byla o 1,1 °C vyšší než normál 1991–2020. V řadě průměrných květnových teplot od roku 1961 se květen 2026 řadí společně s rokem 1969 jako 12. až 13. nejteplejší měsíc. Vůbec nejvyšší květnová průměrná teplota (16,2 °C) byla zaznamenána v květnu 2018 a naopak nejnižší (8,9 °C) v roce 1991.

V posledních deseti letech byl letošní květen čtvrtý nejteplejší. Nejchladnější byl v tomto období květen v roce 2021 s průměrnou teplotou 10,6 °C. Naopak nejteplejší byl květen 2018 s průměrnou teplotou 16,2 °C. Loňský květen 2025 s průměrnou teplotou 11,2 °C byl o poznání chladnější.

V květnu se průměrná denní teplota vzduchu na území ČR pohybovala střídavě nad a pod hodnotou normálu (Obr. 2.1.3).

Velmi teplá období jsem zaznamenali ve dnech 3. až 5. května a 24. až 27. května, kdy byla odchylka průměrné denní teploty vzduchu na území ČR od normálu 1991–2020 více než +4,0 °C. Nejvyšší kladná odchylka průměrné denní teploty vzduchu od normálu byla zaznamenána dne 24. května (+6,4 °C). Dne 23. května byl u nás zaznamenán první tropický den roku 2026, když stanice Doksany naměřila 30,7 °C. Ve dnech následujících již denní maxima teploty vzduchu přesahovala 30 °C na více stanicích. Nejtepleji bylo 26. května, kdy byl tropický den zaznamenán na 49 stanicích. Celkem v 16 dnech byla alespoň na jedné stanici standardní staniční síť ČHMÚ naměřena maximální denní teplota vzduchu 25 °C a více (letní den). Celkem v 5 dnech byla alespoň na jedné stanici standardní staniční síť ČHMÚ naměřena maximální denní teplota vzduchu 30 °C a více (tropický den).

Velmi chladné období nastalo ve dnech 12. až 18. května, kdy se průměrná denní teplota vzduchu na území ČR pohybovala více jak 3,0 °C pod normálem. V těchto dnech denní minima teploty vzduchu na našem území často klesala pod 5,0 °C a vegetace byla často ohrožena přizemními mrazy. Nejvyšší záporná odchylka průměrné denní teploty vzduchu od normálu byla zaznamenána dne 12. května (−6,5 °C).

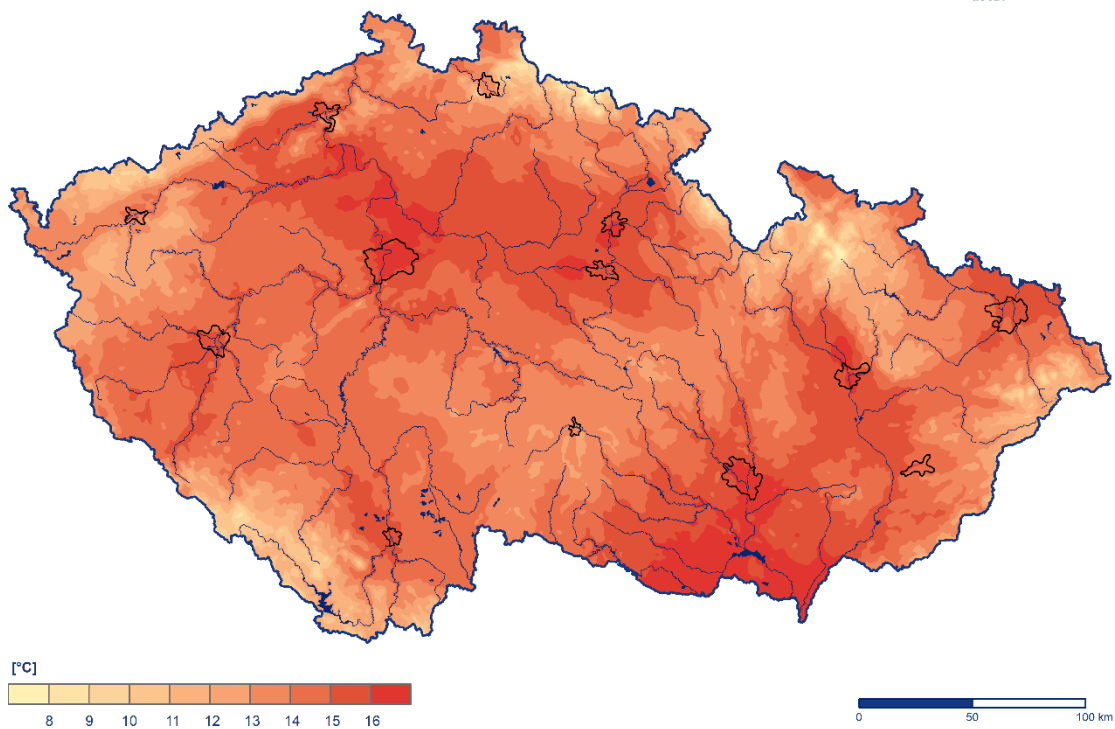
Nejvyšší hodnota maximální denní teploty vzduchu v tomto měsíci 32,7 °C byla zaznamenána 26. května na stanici Doksany (okres Litoměřice). Dosud historicky nejvyšší květnová maximální denní teplota vzduchu 35,0 °C byla naměřena dne 29. května 2005 na stanici Dobřichovice (okres Praha-západ).

Nevyšší počet letních dní (14) zaznamenalo celkem 6 stanic. Alespoň jeden letní den mělo 234 stanic standardní pozorovací síť ČHMÚ. Nejvyšší počet tropických dní (4) zaznamenaly stanice Doksany a Plzeň, Bolevec.

Nejnižší denní minimální teplota vzduchu −8,3 °C byla v tomto měsíci naměřena 1. května na stanici Horská Kvilda (okres Klatovy). Pokud uvažujeme i stanice mimo standardní síť ČHMÚ, nejnižší hodnota −9,5 °C byla zaznamenána ve stejný den na stanici Kvilda-Perla (okres Prachatice). Historicky nejnižší květnová minimální denní teplota vzduchu −13,1 °C byla naměřena 4. května 2011 na stanici Kořenov, Jizerka (okres Jablonec nad Nisou).

Průměrná měsíční teplota vzduchu v květnu 2026

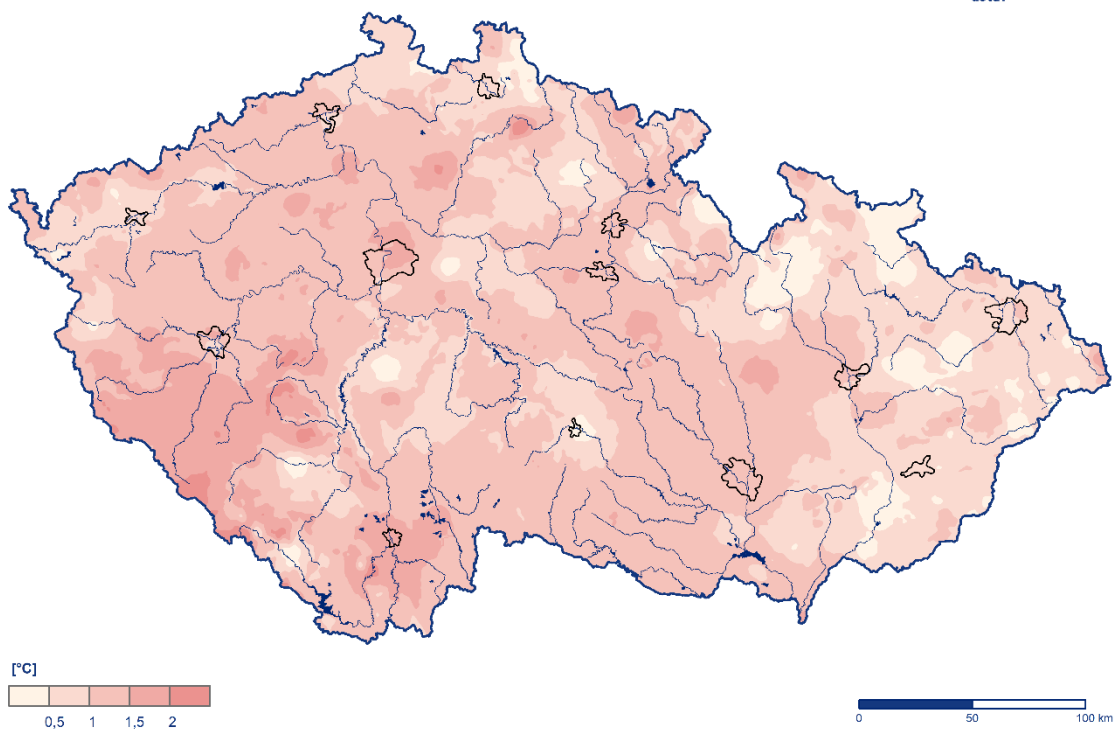
Český
hydrometeorologický
ústav



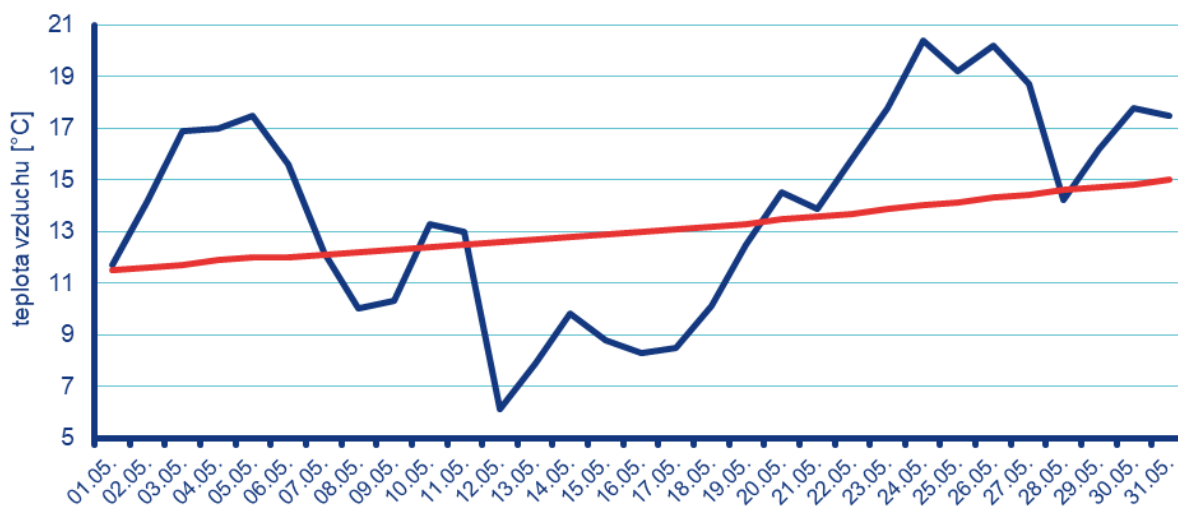
Obr. 2.1.1 Průměrná měsíční teplota vzduchu na území ČR v květnu 2026

Odchylka průměrné měsíční teploty vzduchu v květnu 2026 od normálu 1991–2020

Český
hydrometeorologický
ústav



Obr. 2.1.2 Odchylka průměrné měsíční teploty vzduchu od normálu 1991–2020 na území ČR v květnu 2026



Obr. 2.1.3 Průběh průměrné denní teploty vzduchu na území ČR v květnu 2026 ve srovnání s normálem 1991–2020

2.2 Srážky

Srážkově měsíc květen hodnotíme jako normální. V průměru na našem území spadlo 57 mm srážek, což představuje 81 % normálu 1991–2020 (Obr. 2.2.1, Obr. 2.2.2).

Průměrný srážkový úhrn na území Čech byl 55 mm (81 % normálu) a na území Moravy a Slezska 61 mm (82 % normálu). Nejvíce srážek v porovnání s normálem spadlo v krajích Karlovarském (125 % normálu), Ústeckém (95 % normálu) a Olomouckém (92 % normálu), naopak nejméně v krajích Plzeňském (69 % normálu), Zlínském (73 % normálu) a Pardubickém (74 % normálu).

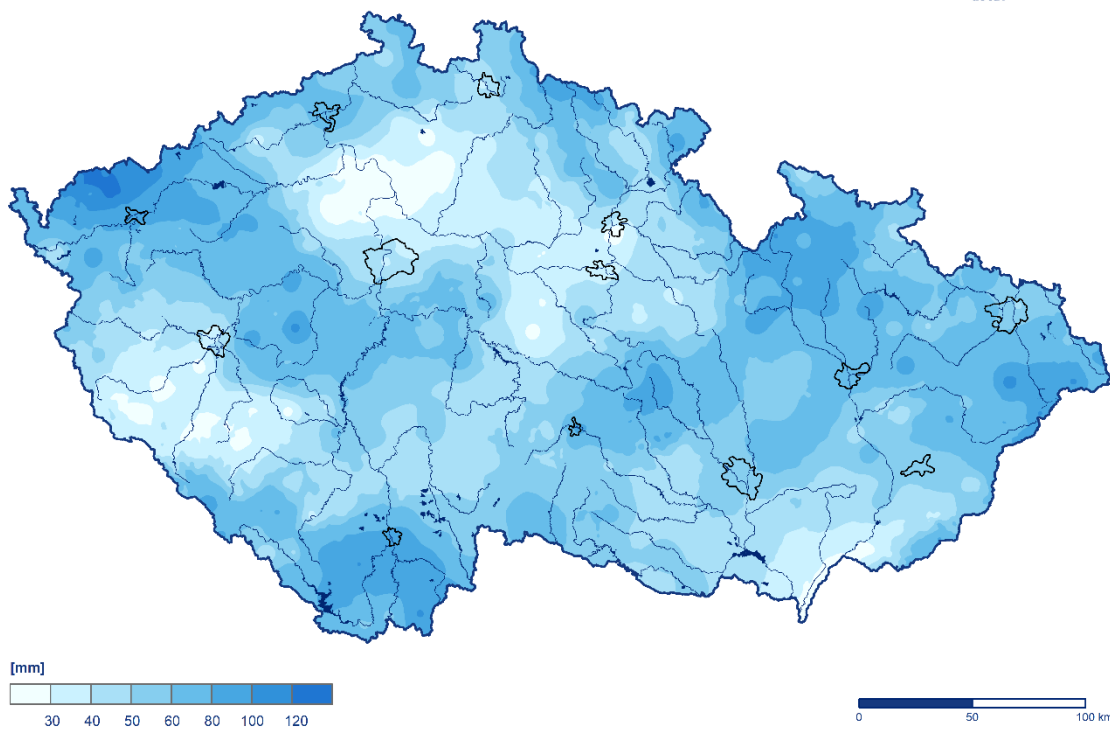
Měsíční srážkové úhrny se pohybovaly na našem území v širokém rozpětí. Zatímco některé stanice zaznamenaly za celý měsíc méně než 30 mm srážek, na jiných stanicích zejména v Krušných horách, to bylo přes 100 mm srážek. Nejvíce srážek za měsíc květen (138,2 mm) zaznamenala stanice Nejdek (okres Karlovy Vary).

V první dekádě května bylo srážek málo. Výraznější úhrny jsem zaznamenaly pouze ve dvou dnech. Ve druhé dekádě bylo srážek nejvíce. Vzhledem k citelnému ochlazení se v této dekádě v nejvyšších polohách hor vyskytovaly i srážky sněhové. Poslední dekáda byla téměř beze srážek. Pouze poslední den této dekády jsme zaznamenali silné srážky, často doprovázené bouřkami a kroupami. Nejvýraznější srážkové úhrny jsme zaznamenali ve dvou dnech, a to 11. a 31. května. V těchto dnech se srážky vyskytovaly na téměř celém území republiky.

Nejvyšší denní úhrn srážek v tomto měsíci (72,9 mm) zaznamenala 31. května stanice Hvozdec, Mrtník (okres Beroun). Nejvíce nového sněhu (1 cm) napadlo 15. května na stanici Praděd. Nejvyšší celková výška sněhové pokrývky (4 cm) byla naměřena 13. května na stanici Labská bouda.

Měsíční úhrn srážek v květnu 2026

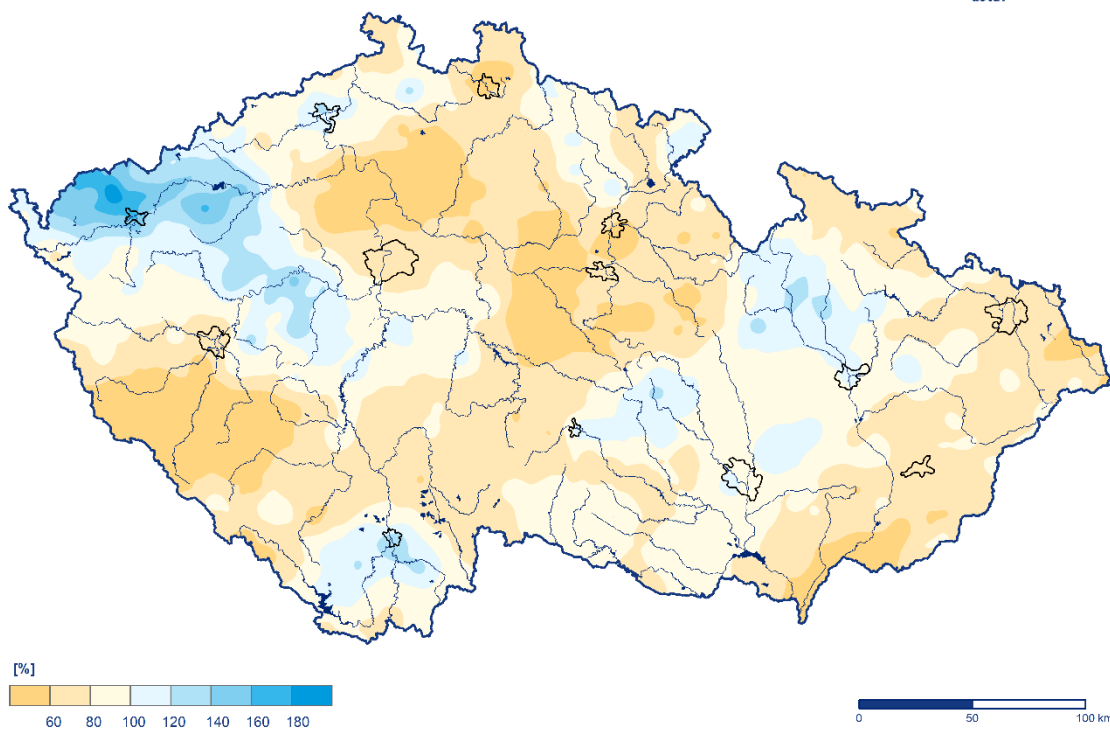
Český
hydrometeorologický
ústav



Obr. 2.2.1 Měsíční úhrn srážek na území ČR v květnu 2026

Měsíční úhrn srážek v květnu 2026 v procentech normálu 1991–2020

Český
hydrometeorologický
ústav



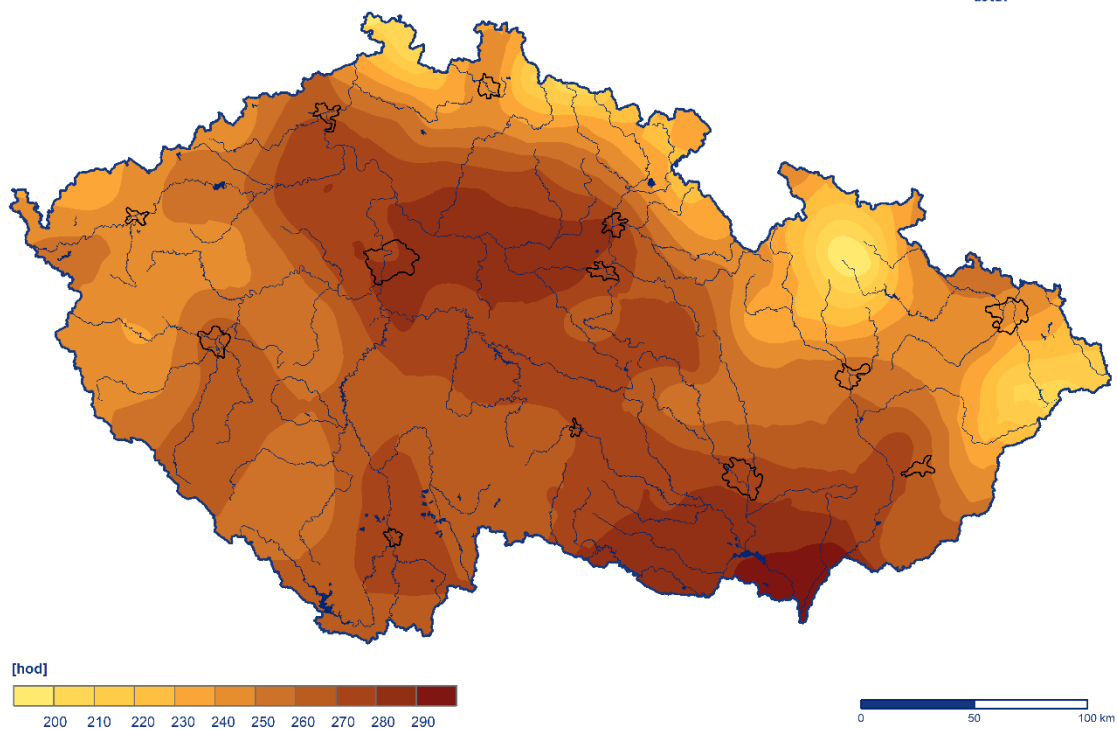
Obr. 2.2.2 Měsíční úhrn srážek na území ČR v květnu 2026 v procentech normálu 1991–2020

2.3 Sluneční svit

Průměrná délka slunečního svitu na území ČR byla tento měsíc 259,3 hodiny, což činí 120 % normálu 1991–2020 (Obr. 2.3.1). Nejvíce hodin slunečního svitu bylo v krajích Jihomoravském (278,1 h), Středočeském a Praze (273,2 h) a Vysočina (271,4 h). Naopak nejméně hodin slunečního svitu bylo v krajích Moravskoslezském (230,9 h), Libereckém (240,6 h) a Olomouckém (241,4 h).

Doba trvání slunečního svitu v květnu 2026

Český
hydrometeorologický
ústav



Obr. 2.3.1 Měsíční úhrn doby trvání slunečního svitu na území ČR v květnu 2026

3 HYDROLOGICKÁ SITUACE

3.1 Povrchové vody

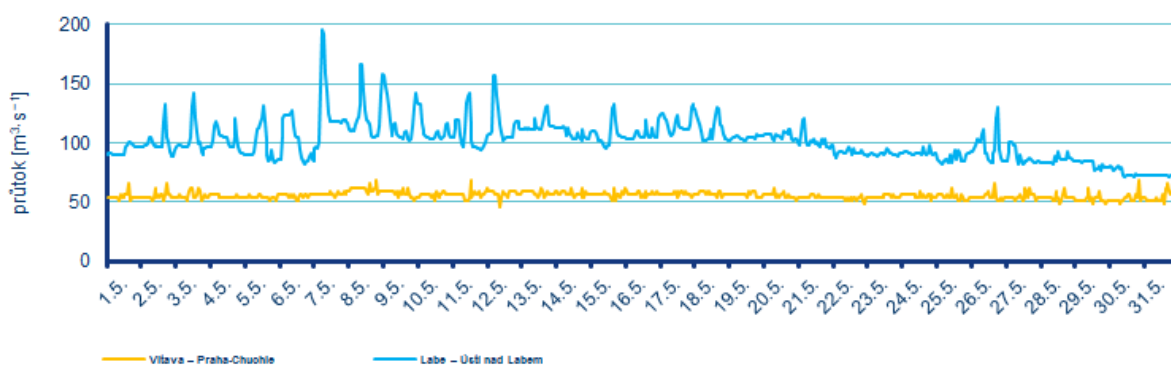
Odtokové poměry

Z odtokového hlediska byl květen převážně podprůměrným měsícem ve všech hlavních povodích. Nejvíce vody oteklo Dyjí (50 % Q_V), dále Vltavou (47 % Q_V), Labem (42 % Q_V), Olší (42 % Q_V) a Moravou (41 % Q_V). Naopak nejméně vody oteklo Odrou (30 % Q_V); (Tab 3.1.1, Obr. 3.1.1, Obr. 3.1.2).

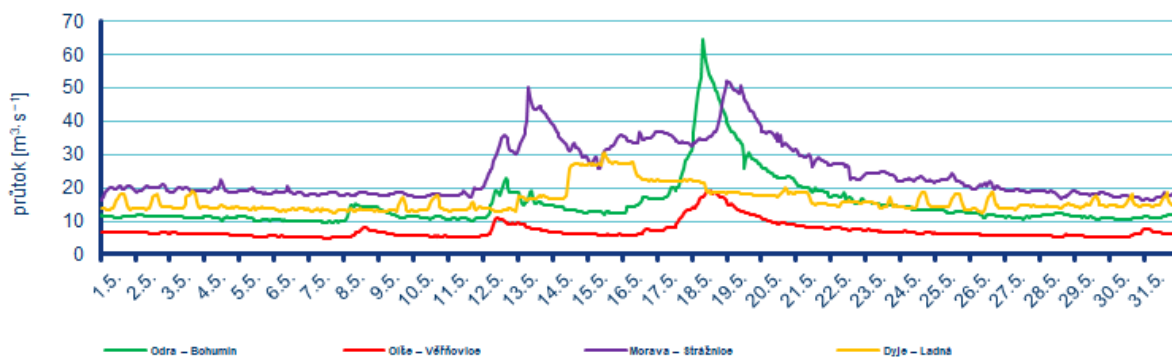
Tab 3.1.1 Průměrné měsíční průtoky v závěrových profilech hlavních povodí, květen 2026

Tok	Profil	Q_m [%]	Q [$m^3 \cdot s^{-1}$]
Vltava	Praha-Chuchle	47	120
Labe	Ústí nad Labem	42	240
Odra	Bohumín	30	50
Olše	Věřňovice	42	17
Morava	Strážnice	41	60
Dyje	Břeclav-Ladná	50	33

Průměrné měsíční průtoky se na většině sledovaných toků v květnu nejčastěji pohybovaly v rozmezí od 15 do 60 % Q_V . Odtok z Vltavské kaskády ve Vraném nad Vltavou se udržoval na $40 m^3 \cdot s^{-1}$.



Obr. 3.1.1 Průběh průtoků v květnu v závěrových profilech Vltavy a Labe

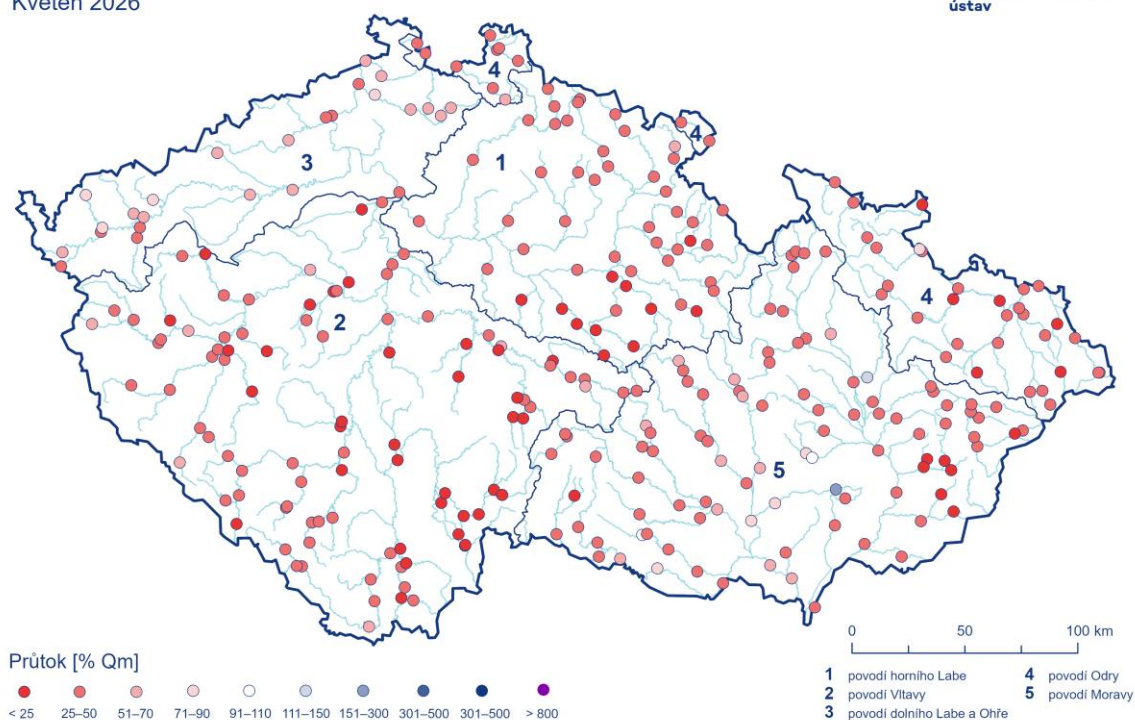


Obr. 3.1.2 Průběh průtoků v květnu v závěrových profilech Odry, Olše, Moravy a Dyje

Průměrné měsíční průtoky

Květen 2026

Český
hydrometeorologický
ústav



Obr. 3.1.3 Průměrné měsíční průtoky na území ČR, květen 2026

Hladiny sledovaných toků byly v průběhu května převážně setrvalé nebo zvolna klesající, přechodně docházelo k mírnému rozkolísání v souvislosti se srážkovou činností, zejména v polovině měsíce a na jeho konci. Krátkodobě byl po intenzivních srážkách překročen 1. SPA na Sázavě ve stanici Sázava, vlivem manipulace byl 1. SPA dosažen také na Bělé v Boskovicích.

Průměrné vodnosti sledovaných toků se na začátku měsíce pohybovaly nejčastěji v rozmezí Q₃₃₀–180d. V průběhu měsíce se vodnost dále snižovala a na konci května převažovaly hodnoty v rozmezí Q₃₅₅–240d, přičemž na řadě profilů již byly zaznamenány vodnosti odpovídající hydrologickému suchu. Průtoky se během měsíce postupně snižovaly z rozmezí přibližně 20 až 95 % Q_V na hodnoty 10 až 50 % Q_V. Počet profilů s indikací hydrologického sucha během května postupně narůstal, zejména v povodí Vltavy, horního Labe a na některých menších tocích Českomoravské vrchoviny.

Tab 3.1.2 Přehled průměrných, max. a min. průtoků (stavů), květen 2026

Tok	Profil	\bar{Q}	Q_m	Q_m	min. H	min. Q	max. H	max. Q	DD min.	DD max.
		$m^3 \cdot s^{-1}$	–	%	cm	$m^3 \cdot s^{-1}$	cm	$m^3 \cdot s^{-1}$	–	–
Orlice	Týniště nad Orlicí	4,00	14,0	29	42	2,50	91	13,0	28	2
Labe	Přelouč	17,0	51,0	34	25	11,0	71	38,0	22	13
Cidlina	Sány	0,75	2,70	28	6	0,11	85	8,40	27	30
Jizera	Bakov nad Jizerou	7,70	20,0	39	116	3,60	171	17,0	26	7
Labe	Kostelec nad Labem	22,0	85,0	25	384	3,30	414	53,0	26	26
Vltava	Vyšší Brod	6,70	13,0	52	50	4,60	88	15,0	13	13
Malše	Roudné	1,30	6,40	20	3	0,82	27	3,30	29	31
Vltava	České Budějovice	9,93	26,0	38	94	4,40	119	30,6	9	31
Lužnice	Bechyně	3,10	17,0	18	74	1,60	102	7,10	14	17
Otava	Písek	6,60	25,0	27	36	3,80	72	13,0	2	13
Sázava	Nespeky	5,00	16,0	31	33	2,00	69	11,0	25	18
Berounka	Plzeň-Bílá Hora	5,80	14,0	43	83	3,10	108	9,70	31	11
Berounka	Beroun	12,0	27,0	45	70	6,60	108	20,0	2	31
Vltava	Praha-Chuchle	56,0	120	47	43	46,0	53	76,0	2	8
Ohře	Karlovy Vary	9,00	17,0	52	36	5,10	61	17,0	28	7
Ohře	Louny	14,0	25,0	56	168	9,00	190	17,0	5	17
Labe	Ústí nad Labem	100	240	42	119	71,0	205	200	30	7
Bílina	Trmice	2,30	5,20	43	88	1,30	123	6,40	27	7
Ploučnice	Benešov nad Ploučnicí	5,50	6,30	88	80	2,60	101	14,0	1	7
Labe	Děčín	110	260	41	84	78,0	154	180	31	7
Odra	Svinov	4,10	15,0	28	101	1,40	163	24,0	6	18
Opava	Děhylov	4,30	18,0	24	78	2,80	102	10,0	29	12
Ostravice	Ostrava	4,80	16,0	31	59	3,10	120	23,0	6	18
Odra	Bohumín	15,0	50,0	30	147	9,50	217	64,0	7	18
Olše	Věřňovice	7,10	17,0	42	58	5,00	102	19,0	7	18
Morava	Olomouc	11,0	26,0	44	88	6,80	163	37,0	7	12
Bečva	Dluhonice	5,80	17,0	34	107	2,00	172	37,0	14	18
Morava	Strážnice	25,0	60,0	41	87	14,0	179	52,0	1	19
Svratka	Židlochovice	11,0	14,0	76	57	6,30	129	34,0	1	12
Jihlava	Ivančice	4,30	8,60	51	94	1,10	145	14,0	11	24
Dyje	Ladná	17,0	33,0	50	15	13,0	52	31,0	7	15

Poznámka: \bar{Q} ...Průměrný průtok, Q_m ...Dlouhodobý průměrný průtok příslušného měsíce, % Q_m ...Procenta měsíčního průměru H...Stav, Q...Průtok, DD...Den v měsíci

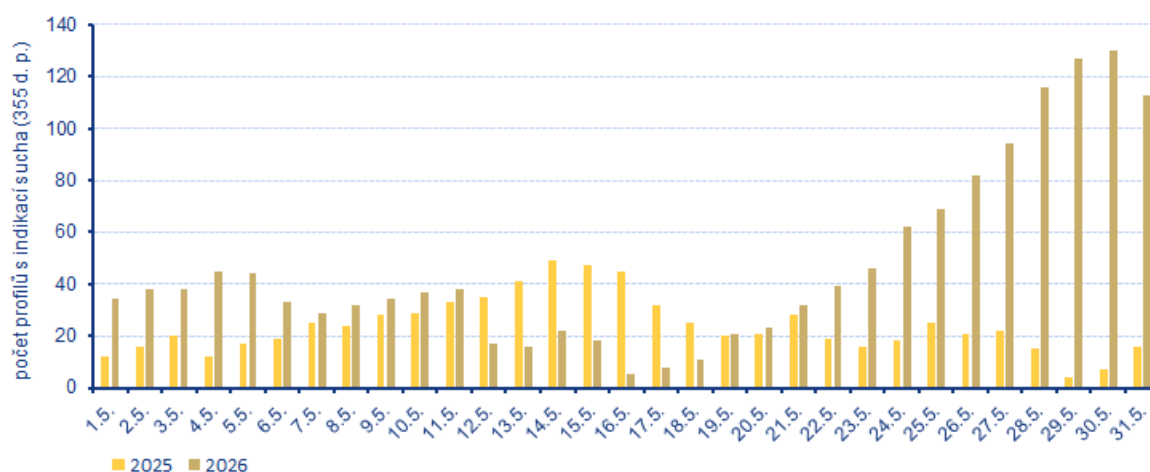
Sucho na území ČR

Hlásné profily (kategorie A + B) s průtoky menšími než 25 % Q_{IV} se v průběhu měsíce května vyskytovaly ve všech sledovaných povodích. Nejvyšší zastoupení bylo zaznamenáno na konci měsíce v povodí Vltavy (44 %), Moravy po Dyji (33 %) a horního Labe (29 %). Počet hlásných profilů během měsíce kolísal, minima dosáhl ve třetím týdnu května (19 % profilů celkem), na konci měsíce však opět výrazně vzrostl na 49 % profilů (Tab 3.1.3 Procentuální vývoj počtu hlásných profilů (kategorie A + B) v hlavních povodích s průměrnými týdenními průtoky menšími než 25 % Q_m , květen 2026

Počet operativních hydrologických profilů s indikací hydrologického sucha (Q_{355d}) byl v průběhu května zpočátku nízký, od druhé poloviny měsíce však postupně narůstal. Nejvyšších hodnot dosáhl na přelomu května a června, kdy počet profilů s indikací sucha překročil 140. Ve srovnání s rokem 2025 byl květen 2026 výrazně sušší, zejména v závěru měsíce, kdy byl počet profilů s indikací hydrologického sucha několikanásobně vyšší (Obr. 3.1.4).

Tab 3.1.3 Procentuální vývoj počtu hlásných profilů (kategorie A + B) v hlavních povodích s průměrnými týdenními průtoky menšími než 25 % Q_m , květen 2026

Povodí	Q < 25 % Q_m			
	T19 (4. – 10. 5.)	T20 (11. – 17. 5.)	T21 (18. – 24. 5.)	T22 (24. – 31. 5.)
Horní Labe	12	7	14	29
Vltava	26	20	37	44
Dolní Labe a Ohře	0	0	0	2
Odra	10	7	6	14
Morava po Dyji	15	5	5	33
Dyje	8	1	0	11
Celkem	48	40	19	49



Obr. 3.1.4 Vývoj počtu operativních hydrologických profilů s indikací hydrologického sucha (Q_{355d}), květen 2025 a 2026

Nádrže

U většiny sledovaných nádrží byly vodní hladiny během května převážně setrvalé, případně mírně rozkolísané či na poklesu. Celkové změny v zaplnění zásobních prostorů se pohybovaly nejčastěji mezi -6 až +1 %. Větší průměrné vzestupy zaznamenaly vodní nádrže Skalka (+8 %), Kružberk (+7 %), Morávka (+8 %), Žermanice (+4 %) a Těrlicko (+4 %).

Většina nádrží byla na konci dubna naplněna minimálně na 75 %. Méně naplněné byly pouze nádrže Lipno (65 %), Orlík, Stanovice (70 %) a Přísečnice (74 %).

Zásoba vody v nádržích Vltavské kaskády nad dispečerským minimem byla na začátku měsíce na hodnotě 186,11 mil. m³ (k 6.4.) poté výrazně postupně klesala až na hodnotu 20,76 mil. m³ (k 4. 5.).

3.2 Podzemní vody

Mělké vrty

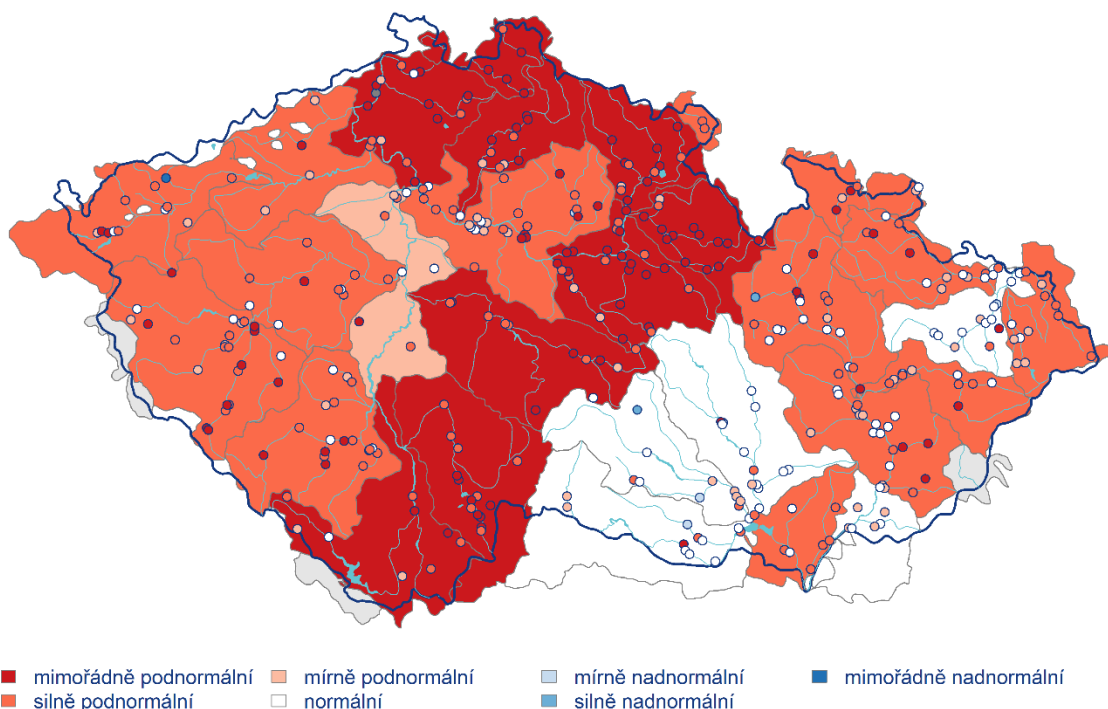
Hladina podzemní vody v mělkých vrtech byla v květnu na území ČR celkově mimořádně podnormální (Tab. 3.2.1), jednalo se o druhý nejsušší květen od roku 1981 (sušší byl už jenom květen 2020). V dílčích povodích Horního a středního Labe a Lužické Nisy a ostatních přítoků Odry byl letošní květen dokonce vůbec nejsušším květnem od roku 1981. Mimořádně podnormální hladina převládala v dílčích povodích Horního a středního Labe, Horní Vltavy, Ohře, Dolního Labe a ostatních přítoků Labe a Lužické Nisy a ostatních přítoků Odry. Silně podnormální hladina byla zaznamenána v dílčích povodích Berounky, Dolní Vltavy, Horní Odry a Moravy a přítoků Váhu. V dílčím povodí Dyje byla hladina mírně podnormální (Tab. 3.2.1, Obr. 3.2.1). Ve skupinách povodí byl mimořádně podnormální stav v povodích horního Labe, Orlice, středního Labe pod Doubravu, Jizery, Lužnice, horní Vltavy, Sázavy, dolního Labe a Ploučnice a Smědé, Lužické Nisy a Mandavy. Největší podíl mělkých vrtů se silně nebo mimořádně podnormální hladinou se vyskytoval v dílčím povodí Lužické Nisy a ostatních přítoků Odry (100 %) a v dílčích povodích Horního a středního Labe a Horní Vltavy (shodně 81 %). Mělké vrty se silně nebo mimořádně nadnormální hladinou se vyskytovaly pouze ojediněle, nejčastěji v dílčím povodí Ohře, Dolního Labe a ostatních přítoků Labe (3 %), dále v dílčích povodích Moravy a přítoků Váhu a Dyje (shodně 2 %, Tab. 3.2.2).

Ve srovnání s předchozím měsícem hladina celkově poklesla a stav se zhoršil ze silně podnormálního na mimořádně podnormální. Podíl vrtů se silně nebo mimořádně podnormální hladinou se zvýšil na 60 %, zatímco podíl vrtů s normální hladinou (22 %) se snížil (Tab. 3.2.2). Podíl vrtů se silně nebo mimořádně nadnormální hladinou se téměř nezměnil (1 %). Stagnace až mírný pokles hladiny byl zaznamenán u 57 % mělkých vrtů a stagnace až mírný vzestup u 6 % vrtů. Pokles nebo velký pokles hladiny nastal u 37 % vrtů (30 %, resp. 7 %) a vzestup u 1 % vrtů (Tab. 3.2.3). K výraznému zhoršení došlo v dílčím povodí Horní Odry, kde se stav zhoršil z normálního na silně podnormální, pokles nebo velký pokles hladiny byl zaznamenán u 54 % vrtů. K zhoršení stavu došlo také v dílčím povodí Horní Vltavy, kde se stav zhoršil ze silně podnormálního na mimořádně podnormální (pokles nebo velký pokles hladiny nastal u 61 % vrtů, Tab. 3.2.1).

Meziročně hladina v mělkých vrtech v květnu celkově poklesla a stav se zhoršil ze silně podnormálního na mimořádně podnormální (Tab. 3.2.1). Pokles nebo velký pokles hladiny byl zaznamenán u 27 % mělkých vrtů, zatímco vzestup nebo velký vzestup u 7 % vrtů (Tab. 3.2.4). Nejvýraznější meziroční pokles byl zaznamenán v dílčím povodí Horní Vltavy (pokles nebo velký pokles, zde nastal u 56 % vrtů), kde se stav výrazně zhoršil z mírně podnormálního na mimořádně podnormální. K výraznému zhoršení došlo rovněž v dílčím povodí Moravy a přítoků Váhu, kde se stav zhoršil z normálního na silně podnormální (Tab. 3.2.1, Tab. 3.2.4).

Stav hladiny podzemní vody v mělkých vrtech

Květen 2026

Český
hydrometeorologický
ústav

Obr. 3.2.1 Stav hladiny podzemní vody v mělkých vrtech v květnu 2026 ve skupinách povodí, vztaheno k referenčnímu období 1991–2020.

Tab. 3.2.1 Pravděpodobnost překročení úrovně hladiny v mělkých vrtech v dílčích povodích. KP – křivka překročení (%), HLS – Horní a střední Labe, HVL – Horní Vltava, BER – Berounka, DVL – Dolní Vltava, ODL – Ohře a Dolní Labe, HOD – Horní Odra, LNI – Lužická Nisa, MOR – Morava, DYJ – Dyje. Červená barevná škála odpovídá mimořádně, silně a mírně podnormálnímu stavu. Modrá barevná škála představuje mírně, silně, mimořádně nadnormální stav.

Povodí/ Zařazení úrovně hladiny na KP v %	HSL	HVL	BER	DVL	ODL	HOD	LNI	MOR	DYJ	ČR
V 2026	98	97	94	93	96	89	99	89	75	96
IV 2026	97	94	95	94	98	74	98	87	77	94
V 2025	95	79	87	85	97	89	97	75	68	91
<95,100>	<85,95)	<75,85)	(25,75)	(15,25>	(5,15>	<5,0>				

Tab. 3.2.2 Stav hladiny v mělkých vrtech v % počtu objektů

Povodí	Mimořádně podnormální hladina	Silně podnormální hladina	Mírně podnormální hladina	Normální hladina	Mírně nadnormální hladina	Silně nadnormální hladina	Mimořádně nadnormální hladina
Horní a střední Labe	50	31	12	6	1	0	0
Horní Vltava	32	49	10	10	0	0	0
Berounka	27	42	12	18	0	0	0
Dolní Vltava	25	45	10	20	0	0	0
Ohře a Dolní Labe	33	33	21	9	0	0	3
Horní Odra	11	24	27	36	2	0	0
Lužická Nisa	57	43	0	0	0	0	0
Morava	14	21	23	40	0	2	0
Dyje	5	26	16	47	5	2	0
ČR	28	32	16	22	1	1	0

Tab. 3.2.3 Porovnání hladiny v mělkých vrtech s předchozím měsícem v % počtu objektů

Povodí	Velký pokles	Pokles	Stagnace až mírný pokles	Stagnace až mírný vzestup	Vzestup	Velký vzestup
Horní a střední Labe	10	37	52	1	0	0
Horní Vltava	12	49	39	0	0	0
Berounka	6	42	52	0	0	0
Dolní Vltava	10	20	70	0	0	0
Ohře a Dolní Labe	0	18	67	15	0	0
Horní Odra	16	38	44	2	0	0
Lužická Nisa	0	43	43	14	0	0
Morava	0	7	71	20	2	0
Dyje	2	21	67	7	2	0
ČR	7	30	57	6	1	0

Tab. 3.2.4 Porovnání hladiny v mělkých vrtech se stejným měsícem předchozího roku v % počtu objektů

Povodí	Velký pokles	Pokles	Stagnace až mírný pokles	Stagnace až mírný vzestup	Vzestup	Velký vzestup
Horní a střední Labe	8	20	46	19	6	2
Horní Vltava	15	41	41	2	0	0
Berounka	3	39	39	9	9	0
Dolní Vltava	5	20	45	30	0	0
Ohře a Dolní Labe	0	12	45	24	12	6
Horní Odra	0	11	29	53	7	0
Lužická Nisa	0	43	43	0	14	0
Morava	5	19	42	28	4	2
Dyje	2	16	44	28	5	5
ČR	5	22	42	24	5	2

Prameny

Vydatnost pramenů byla v květnu na území ČR celkově mimořádně podnormální a z pohledu stavu vydatnosti se jednalo o nejsušší květen od roku 1981. Mimořádně podnormální vydatnost byla zaznamenána v dílčích povodích Horního a středního Labe, Horní Vltavy, Berounky, Ohře, Dolního Labe a ostatních přítoků Labe, Lužické Nisy a ostatních přítoků Odry a Moravy a přítoků Váhu. V dílčích povodích Dolní Vltavy, Horní Odry a Dyje byla vydatnost silně podnormální (Tab. 3.2.5). Mimořádně podnormální stav převládal i ve skupinách povodí; normální vydatnost se udržela pouze v povodích dolní Vltavy, Olše a Odry a mírně podnormální vydatnost v povodí Vlárky (Obr. 3.2.2). Největší podíl pramenů se silně nebo mimořádně podnormální vydatností byl zaznamenán v dílčích povodích Horního a středního Labe (88 %) a Ohře, Dolního Labe a ostatních přítoků Labe (87 %). Prameny se silně nebo mimořádně nadnormální vydatností se vyskytovaly pouze ojediněle, nejčastěji v dílčích povodích Horní Odry (9 %) a Dyje (6 %, Tab. 3.2.6).

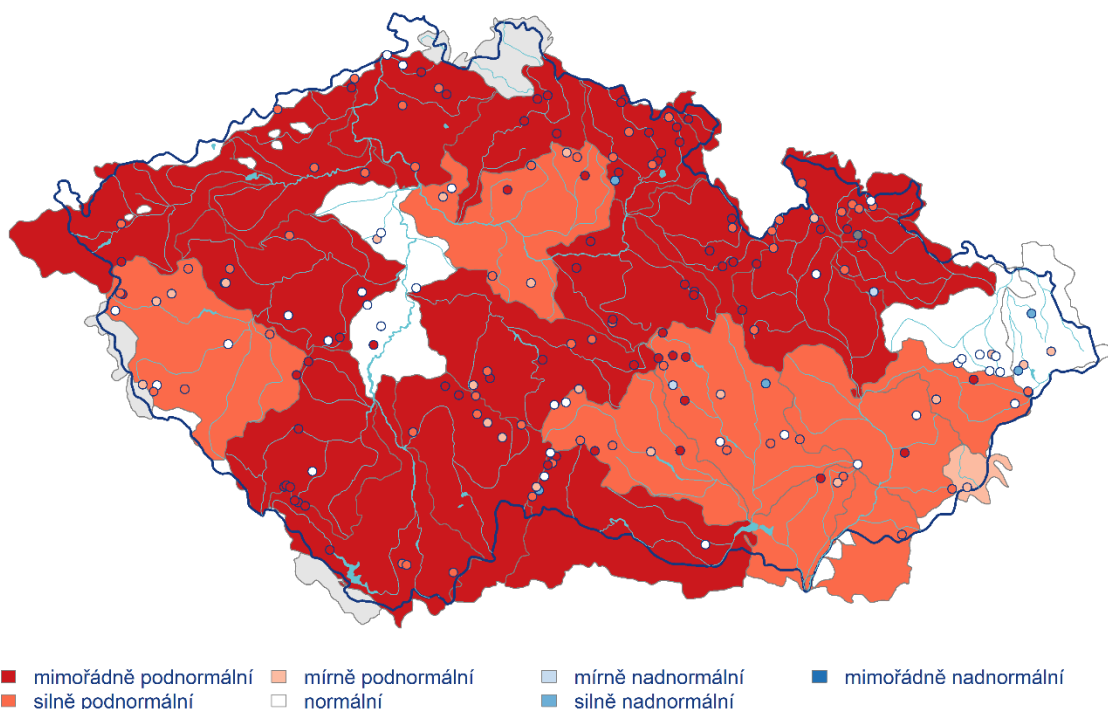
Ve srovnání s předchozím měsícem se vydatnost pramenů dále zmenšila, ale stav zůstal mimořádně podnormální. Podíl pramenů se silně nebo mimořádně podnormální vydatností se zvýšil na 66 %, zatímco podíl pramenů s normální vydatností se snížil na 18 % (Tab. 3.2.6). Podíl pramenů se silně nebo mimořádně nadnormální vydatností činil 3 %. Stagnace až mírné zmenšení vydatnosti bylo zaznamenáno u 64 % pramenů a stagnace až mírné zvětšení u 18 % pramenů. Zmenšení nebo velké zmenšení vydatnosti nastalo u 18 % pramenů (17 %, resp. 1 %) a zvětšení u 1 % pramenů (Tab. 3.2.7). K mírnému zhoršení stavu došlo v dílčím povodí Horní Odry, kde se stav zhoršil z mírně podnormálního na silně podnormální (zmenšení nebo velké zmenšení nastalo vydatnosti u 41 % pramenů), a v dílčím povodí Moravy a přítoků Váhu, kde se stav zhoršil ze silně podnormálního na mimořádně podnormální (Tab. 3.2.5, Tab. 3.2.7).

Meziročně se vydatnost pramenů v květnu celkově zmenšila, stav však zůstal mimořádně podnormální (Tab. 3.2.5). Zmenšení nebo velké zmenšení vydatnosti bylo zaznamenáno u 19 % pramenů, zatímco zvětšení nebo velké zvětšení u 4 % pramenů (Tab. 3.2.8). K výraznému zhoršení došlo v dílčím povodí Dolní Vltavy (zmenšení nebo velké zmenšení vydatnosti zde nastalo u 27 % pramenů), kde se stav zhoršil z normálního na silně podnormální. K mírnému meziročnímu zhoršení došlo v dílčích povodích Horní Vltavy (zmenšení nebo velké zmenšení vydatnosti nastalo u 38 % pramenů), Berounky (24 %) a Moravy a přítoků Váhu (18 %), kde se stav zhoršil ze silně podnormálního na mimořádně podnormální (Tab. 3.2.5, Tab. 3.2.8).

Stav vydatnosti pramenů

Květen 2026



Český
hydrometeorologický
ústav


Obr. 3.2.2 Stav vydatnosti pramenů v květnu 2026 ve skupinách povodí, vztaženo k referenčnímu období 1991–2020.

Tab. 3.2.5 Pravděpodobnost překročení úrovně vydatnosti pramenů v dílčích povodích. KP – křivka překročení (%), HLS – Horní a střední Labe, HVL – Horní Vltava, BER – Berounka, DVL – Dolní Vltava, ODL – Ohře a Dolní Labe, HOD – Horní Odra, LNI – Lužická Nisa, MOR – Morava, DYJ – Dyje. Červená barevná škála odpovídá mimořádně, silně a mírně podnormálnímu stavu. Modrá barevná škála představuje mírně, silně, mimořádně nadnormální stav.

Povodí/ Zařazení úrovně vydatnosti na KP v %	HSL	HVL	BER	DVL	ODL	HOD	LNI	MOR	DYJ	ČR
IV 2026	98	99	97	92	99	87	99	99	93	99
III 2026	97	96	96	94	100	78	100	94	91	96
IV 2025	95	88	91	73	99	93	98	95	89	96
<95,100>	<85,95)	<75,85)	(25,75)	(15,25>	(5,15>	<5,0>				

Tab. 3.2.6 Vydatnost pramenů v % počtu objektů

Povodí	Mimořádně podnormální vydatnost	Silně podnormální vydatnost	Mírně podnormální vydatnost	Normální vydatnost	Mírně nadnormální vydatnost	Silně nadnormální vydatnost	Mimořádně nadnormální vydatnost
Horní a střední Labe	60	28	8	2	0	2	0
Horní Vltava	52	29	10	10	0	0	0
Berounka	19	33	19	29	0	0	0
Dolní Vltava	27	27	13	33	0	0	0
Ohře a Dolní Labe	27	60	0	13	0	0	0
Horní Odra	9	32	14	32	5	9	0
Lužická Nisa	100	0	0	0	0	0	0
Morava	29	29	18	24	0	0	0
Dyje	31	25	16	19	3	6	0
ČR	35	31	12	18	1	3	0

Tab. 3.2.7 Porovnání vydatnosti pramenů s předchozím měsícem v % počtu objektů

Povodí	Velké zmenšení	Zmenšení	Stagnace až mírné zmenšení	Stagnace až mírné zvětšení	Zvětšení	Velké zvětšení
Horní a střední Labe	2	22	68	8	0	0
Horní Vltava	0	19	81	0	0	0
Berounka	0	10	67	24	0	0
Dolní Vltava	0	7	73	20	0	0
Ohře a Dolní Labe	0	0	53	40	7	0
Horní Odra	5	36	41	18	0	0
Lužická Nisa	0	0	100	0	0	0
Morava	0	12	71	18	0	0
Dyje	0	16	56	28	0	0
ČR	1	17	64	18	1	0

Tab. 3.2.8 Porovnání vydatnosti pramenů se stejným měsícem předchozího roku v % počtu objektů

Povodí	Velké zmenšení	Zmenšení	Stagnace až mírné zmenšení	Stagnace až mírné zvětšení	Zvětšení	Velké zvětšení
Horní a střední Labe	2	8	65	22	2	0
Horní Vltava	5	33	62	0	0	0
Berounka	14	10	48	24	0	5
Dolní Vltava	7	20	60	13	0	0
Ohře a Dolní Labe	0	20	47	27	0	7
Horní Odra	0	14	18	59	5	5
Lužická Nisa	0	100	0	0	0	0
Morava	6	12	41	41	0	0
Dyje	0	12	62	19	6	0
ČR	4	15	52	25	2	2

Hluboké vrtý

U hlubokých vrtů byly duben a květen 2026 z hlediska celé ČR měsíci s vůbec nejhorším stavem (největší zápornou odchylkou od měsíčního normálu) od počátku hodnocené řady, tedy od roku 1991. Podobně nízký stav hlubokých vrtů byl v rámci celé ČR zaznamenán také na přelomu jara a léta 2019, a dále v létě 2020, nyní je ale stav v Čechách výrazně horší. Na jihu Moravy naopak dosud trvá lepší stav hladiny od povodní v září 2024.

Hladina podzemní vody v hlubokých vrtech² byla v květnu mimořádně podnormální v části severočeské křídly (skupina hg rajonů 4B, 4C, 4D), permokarbonu středních a západních Čech (8A, 8B), jihočeských pánví (2A, 2D), podkrušnohorských pánví (1A), v celé východočeské křídě (5A, 5B, 5C), v části permokarbonu východočeské křídly (9A) a cenomanu východočeské křídly (7B, 7C). Silně podnormální byla hladina v části jihočeských pánví (2C), podkrušnohorských pánví (1B), permokarbonu východočeské křídly (9B) a v části cenomanu severočeské křídly (6A). Mírně podnormální byla hladina v části jihočeských pánví (2B), permokarbonu středních a západních Čech (8C), moravského terciéru (3D, 3E) a cenomanu severočeské křídly (6E). Silně nadnormální byla hladina v části moravského terciéru (3B). Silně a mimořádně nadnormální byla stále hladina v částech cenomanu severočeské křídly (6B a 6C), které mají výrazně víceletý režim. V ostatních skupinách hg rajonů byla hladina normální (Obr. 3.2.3).

Stav hlubokých vrtů se dále zhoršil ve východních Čechách. Zhoršil se stav části východočeské křídly (5B, 5C) a permokarbonu východočeské křídly (9A). Zlepšil se pouze stav části podkrušnohorských pánví (1B – chybí ale kompletní data). Velmi výrazně se zvýšil podíl vrtů s mimořádně podnormální (41 %) hladinou, překvapivě se zvýšil také podíl vrtů s silně nadnormální hladinou (v moravském terciéru 3B). Velmi výrazně se naopak snížil podíl vrtů s mírně podnormální (7 %) hladinou, snížil se také podíl vrtů s mírně nadnormální (2 %) hladinou (Tab. 3.2.9).

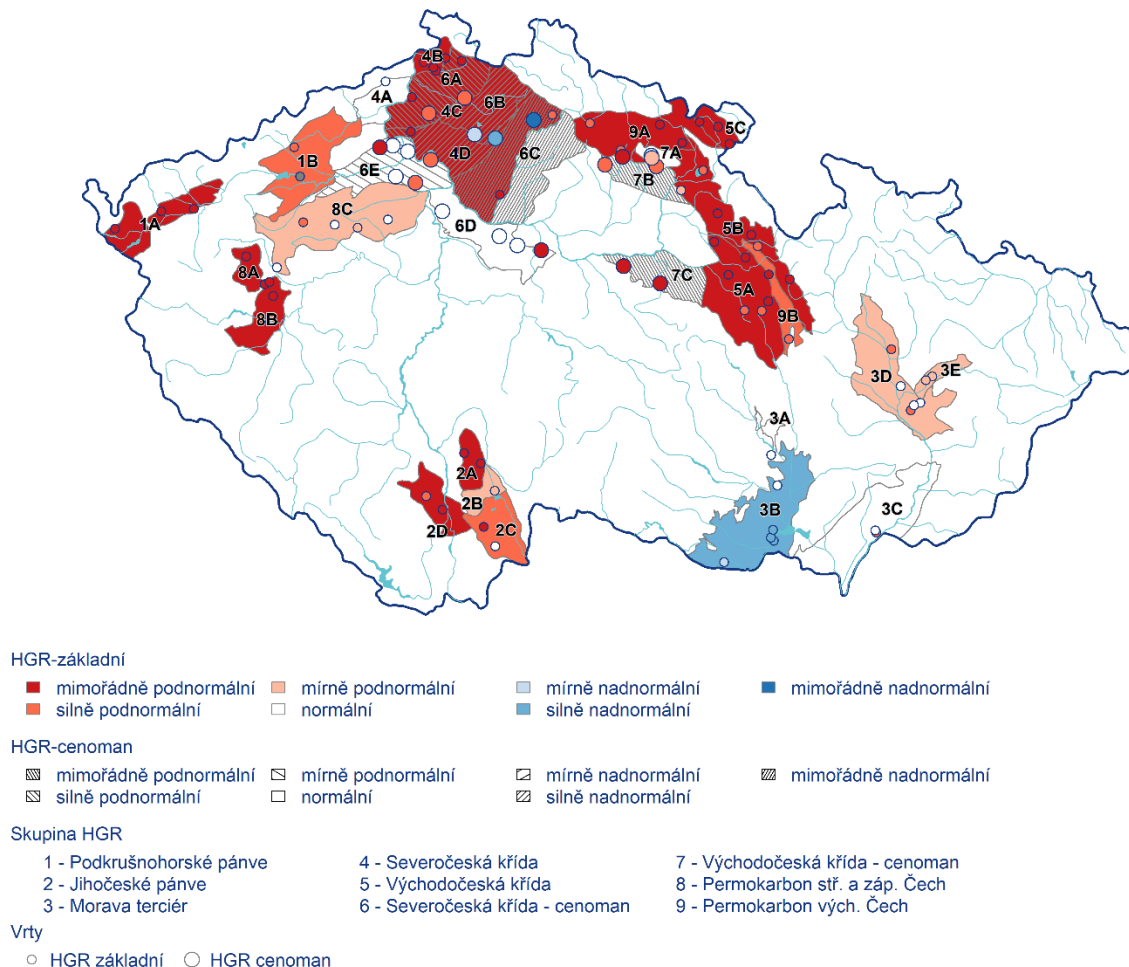
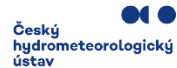
K poklesu nebo velkému poklesu hladiny došlo u 14 % vrtů, stagnaci až mírný pokles zaznamenalo 71 % vrtů. Vzestup nebo velký vzestup nezaznamenal žádný vrt (Tab. 3.2.10).

V meziročním porovnání se stejným měsícem minulého roku se zhoršil stav hladiny v celé ČR. Pokles nebo velký pokles hladiny zaznamenalo 34 % vrtů, naopak vzestup nebo velký vzestup hladiny zaznamenala pouze 5 % vrtů (Tab. 3.2.11).

² Při interpretaci výsledků je třeba brát v úvahu, že hodnocení hlubokých zvodní je prováděno na menším počtu vrtů a často na kratších pozorovaných řadách, než vyhodnocování mělkých vrtů a pramenů. Většina hlubokých vrtů má sice pozorování od roku 1991, část z nich však jen od roku 2008.

Stav hladiny podzemní vody v hlubokých vrtech

Květen 2026



Obr. 3.2.3 Stav hladiny podzemní vody v hlubokých vrtech v květnu 2026, vztaženo k referenčnímu období 1991–2020

Tab. 3.2.9 Stav hladiny v hlubokých vrtech v % počtu objektů

Povodí	Mimořádně podnormální hladina	Silně podnormální hladina	Mírně podnormální hladina	Normální hladina	Mírně nadnormální hladina	Silně nadnormální hladina	Mimořádně nadnormální hladina
ČR	41	24	7	20	2	4	1

Tab. 3.2.10 Porovnání hladiny v hlubokých vrtech s předchozím měsícem v % počtu objektů

Povodí	Velký pokles	Pokles	Stagnace až mírný pokles	Stagnace až mírný vzestup	Vzestup	Velký vzestup
ČR	1	13	71	14	0	0

Tab. 3.2.11 Porovnání hladiny v hlubokých vrtech se stejným měsícem předchozího roku v % počtu objektů

Povodí	Velký pokles	Pokles	Stagnace až mírný pokles	Stagnace až mírný vzestup	Vzestup	Velký vzestup
ČR	11	23	54	6	3	2

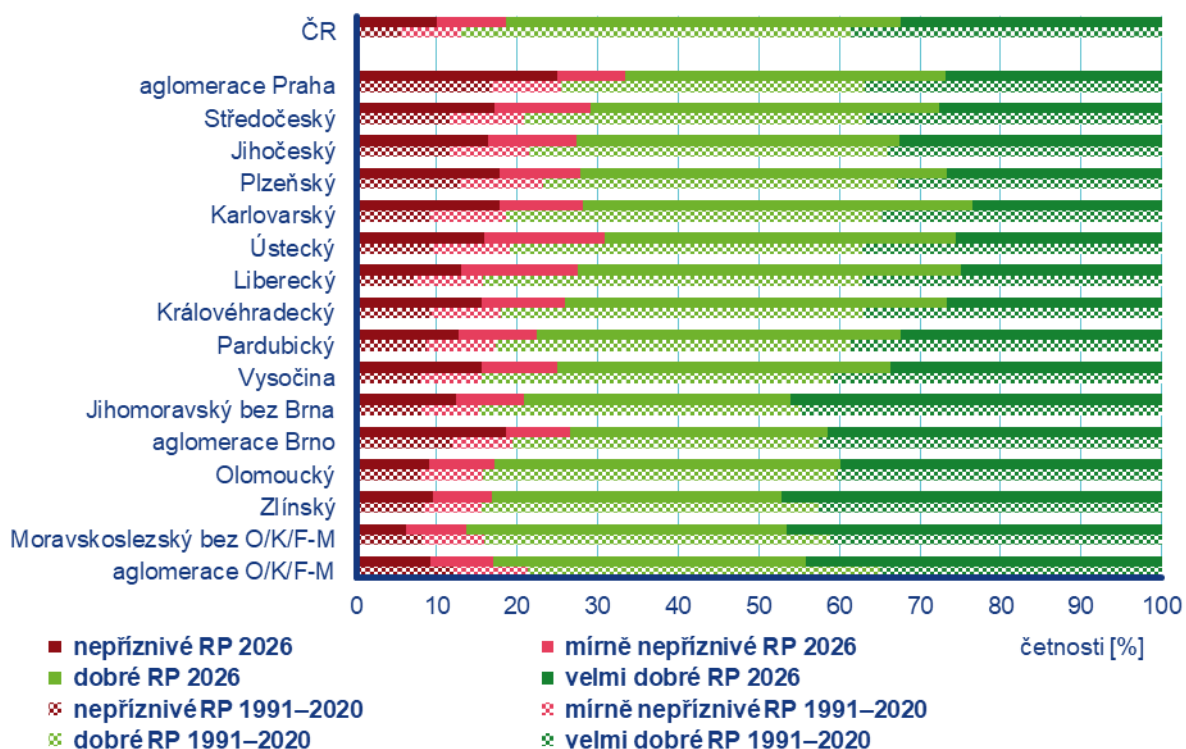
4 KVALITA OVZDUŠÍ

4.1 Rozptylové podmínky

V porovnání s 30letým průměrem 1991–2020 byly v květnu výrazně horší rozptylové podmínky (Obr. 4.1.1). Nejlepší květnové rozptylové podmínky byly zaznamenány v roce 2021, naopak nejhorší v roce 2008. Velmi dobré rozptylové podmínky, vyjádřené pomocí ventilačního indexu³ pro celou ČR, byly zaznamenány v 10 dnech, v porovnání s desetiletým průměrem se jedná o zhoršení o 6 %. Dobré rozptylové podmínky byly zaznamenány v 15 dnech, mírně nepříznivé ve třech a nepříznivé také ve třech dnech.

V květnu byly ve většině regionů zaznamenány zhoršené až výrazně horší rozptylové podmínky. V Jihomoravském kraji se rozptylové podmínky pohybovaly na hranici standardních a zhoršených. V Olomouckém a Zlínském kraji a v Moravskoslezském kraji bez aglomerace O/K/F-M⁴ byly rozptylové podmínky standardní, v aglomeraci O/K/F-M dokonce zlepšené.

Nejvíce velmi dobrých rozptylových podmínek (47 %) bylo zaznamenáno ve Zlínském kraji, nejméně (24 %) v kraji Karlovarském. Nejvíce nepříznivých rozptylových podmínek (25 %) bylo zaznamenáno v aglomeraci Praha, nejméně (6 %) v Moravskoslezském kraji bez aglomerace O/K/F-M.



Obr. 4.1.1 Skladba rozptylových podmínek v regionech České republiky, květen 2026

³ http://portal.chmi.cz/files/portal/docs/uoco/mes_zpravy/mesprehledy.html#ventindex

⁴ Aglomerace Ostrava/Karviná/Frýdek-Místek.

4.2 Suspendované částice PM₁₀

Překročení 24hod. imisního limitu PM₁₀ od počátku roku

Hodnota 24hod. imisního limitu PM₁₀ je 50 µg·m⁻³. Legislativa připouští na měřicí stanici nejvíce 35 překročení hodnoty imisního limitu, při vyšším počtu je imisní limit považován za překročený.

Během května došlo k překročení hodnoty imisního limitu na dvou ze 117 stanic.

24hod. imisní limit PM₁₀ nebyl do konce května překročen na žádné stanici AIM s dostatečným množstvím dat pro hodnocení (Obr. 4.2.1).

Měsíční chod denních koncentrací PM₁₀

Průměrné 24hod. koncentrace PM₁₀ zprůměrované pro jednotlivé typy stanic nepřekračovaly během května hodnotu imisního limitu (50 µg·m⁻³) ani doporučenou hodnotu WHO⁵ (45 µg·m⁻³; Obr. 4.2.2)⁶.

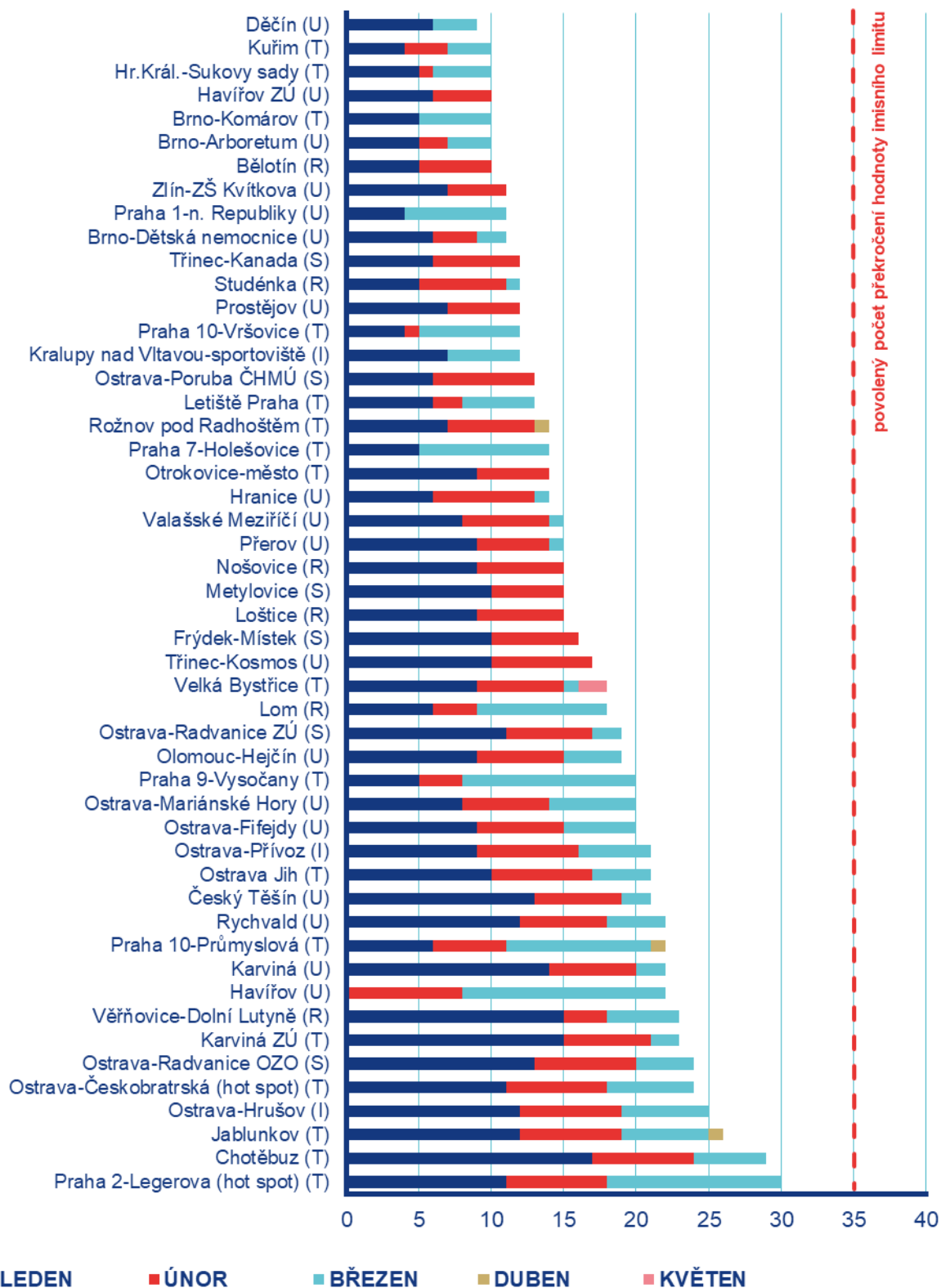
Vývoj denních koncentrací PM₁₀ má obdobný průběh jako denní koncentrace PM_{2,5}. Důvodem je podobná skladba emisních zdrojů obou látek a také významná závislost na meteorologických a rozptylových podmínkách.

Průměrné měsíční koncentrace PM₁₀

Celorepublikový měsíční průměr koncentrací PM₁₀ byl v květnu pátý nejnižší za období 2016–2026 (Obr. 4.2.3). V porovnání s desetiletým průměrem (2016–2025) byly průměrné koncentrace PM₁₀ o 11 % nižší.

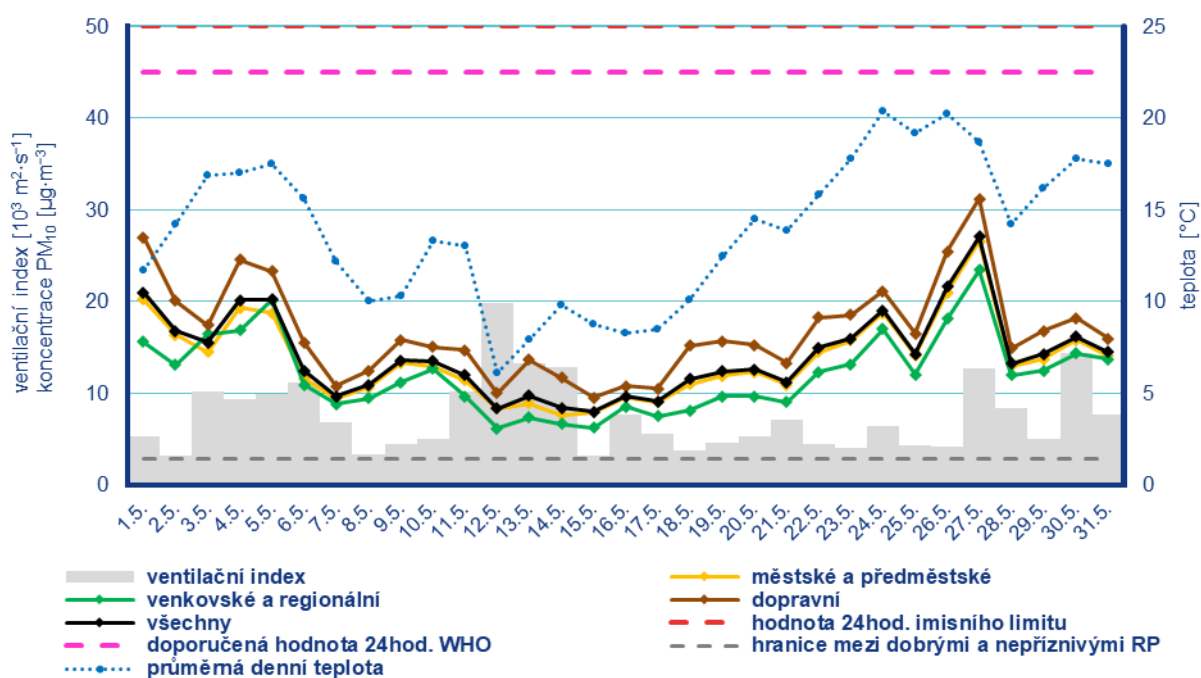
⁵ <https://iris.who.int/handle/10665/345329>

⁶ Průběh koncentrací je hodnocen pouze z meteorologického hlediska. Meteorologické a rozptylové podmínky jsou hlavním faktorem ovlivňujícím úroveň koncentrací. Mezi další faktory patří např. množství emisí či rozložení zdrojů emisí.



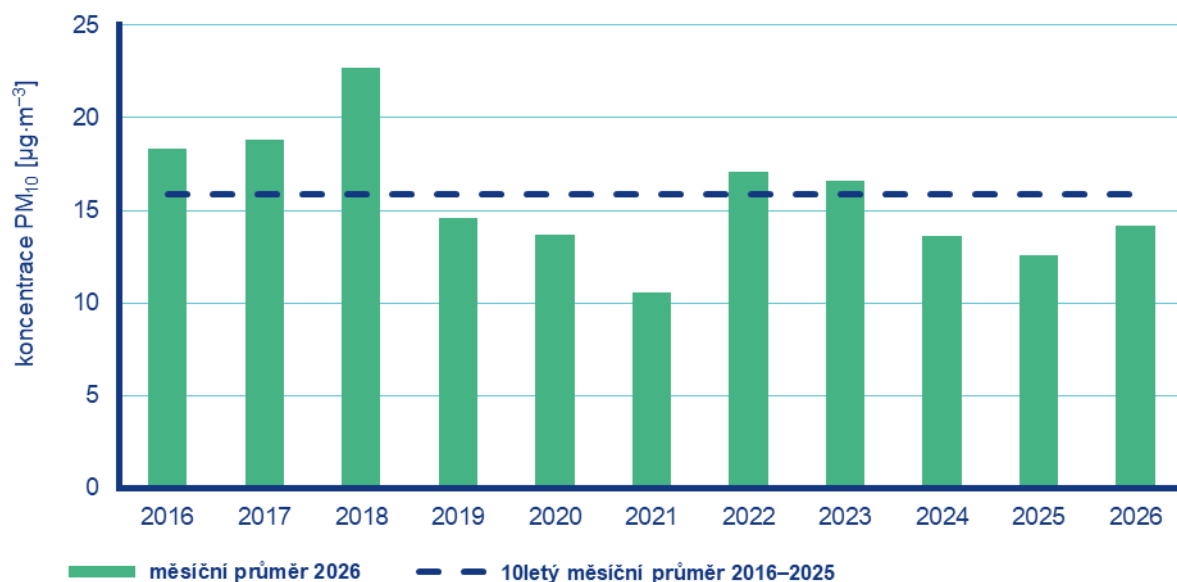
Poznámka: V grafu je uvedeno 50 nejhorších stanic bez ohledu na úplnost dat.

Obr. 4.2.1 Počet dnů, kdy průměrná denní koncentrace PM₁₀ překročila hodnotu 24hod. imisního limitu (50 µg·m⁻³) na stanicích AIM, 2026



Poznámka: Průmyslové stanice jsou umístěny převážně v Moravskoslezském kraji; z tohoto důvodu nejsou průmyslové stanice uvedeny v grafu celorepublikových průměrů.

Obr. 4.2.2 Vývoj průměrných denních koncentrací PM_{10} , celorepublikového průměru teploty vzduchu a celorepublikového průměru ventilačního indexu (model ALADIN), květen 2026



Obr. 4.2.3 Průměrné měsíční koncentrace PM_{10} v České republice, květen 2016–2026

4.3 Suspendované částice PM_{2,5}

Vzhledem k závažnosti vlivu suspendovaných částic na lidské zdraví jsou v této zprávě hodnoceny i koncentrace suspendovaných částic PM_{2,5}. V české legislativě mají koncentrace suspendovaných částic PM_{2,5} definován pouze roční imisní limit (20 µg·m⁻³), proto jsou v této zprávě krátkodobé koncentrace porovnávány vzhledem k doporučené hodnotě WHO pro ochranu lidského zdraví (15 µg·m⁻³, průměrná 24hodinová koncentrace).⁷

Překročení 24hod. doporučené hodnoty WHO pro PM_{2,5}

Doporučená hodnota WHO (15 µg·m⁻³) byla v květnu překročena na 51 z 92 stanic (Obr. 4.3.1). Překročení doporučené hodnoty je vyjádřeno procentem dní, kdy byla na dané stanici průměrná denní koncentrace PM_{2,5} vyšší než doporučená hodnota WHO.

Měsíční chod denních koncentrací PM_{2,5}

Průměrné denní koncentrace PM_{2,5} zprůměrované pro jednotlivé typy stanic v květnu překračovaly doporučenou hodnotou WHO (Obr. 4.3.2)⁸.

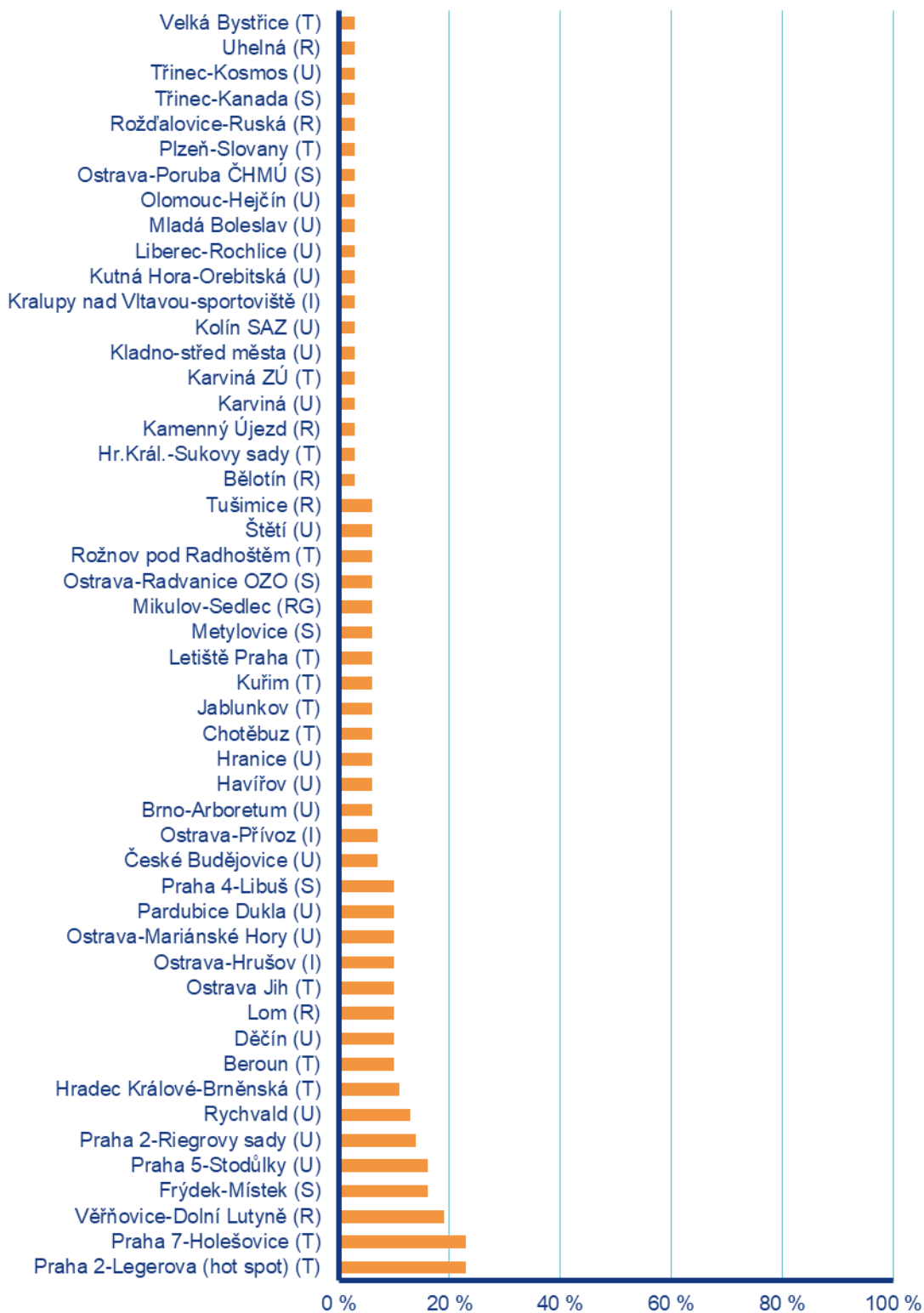
Koncentrace se v průběhu celého měsíce pohybovaly pod doporučenou hodnotou. Dočasné zvýšení koncentrací na konci měsíce nad doporučenou hodnotu bylo zapříčiněno oblastí vysokého tlaku vzduchu, které bylo provázeno suchým a stabilním počasím.

Průměrné měsíční koncentrace PM_{2,5}

Celorepublikový měsíční průměr koncentrací PM_{2,5} byl v květnu nejnižší za období 2016–2026 (Obr. 4.3.3). V porovnání s desetiletým průměrem (2016–2025) byly průměrné koncentrace PM_{2,5} o 49 % nižší.

⁷ <https://iris.who.int/handle/10665/345329>

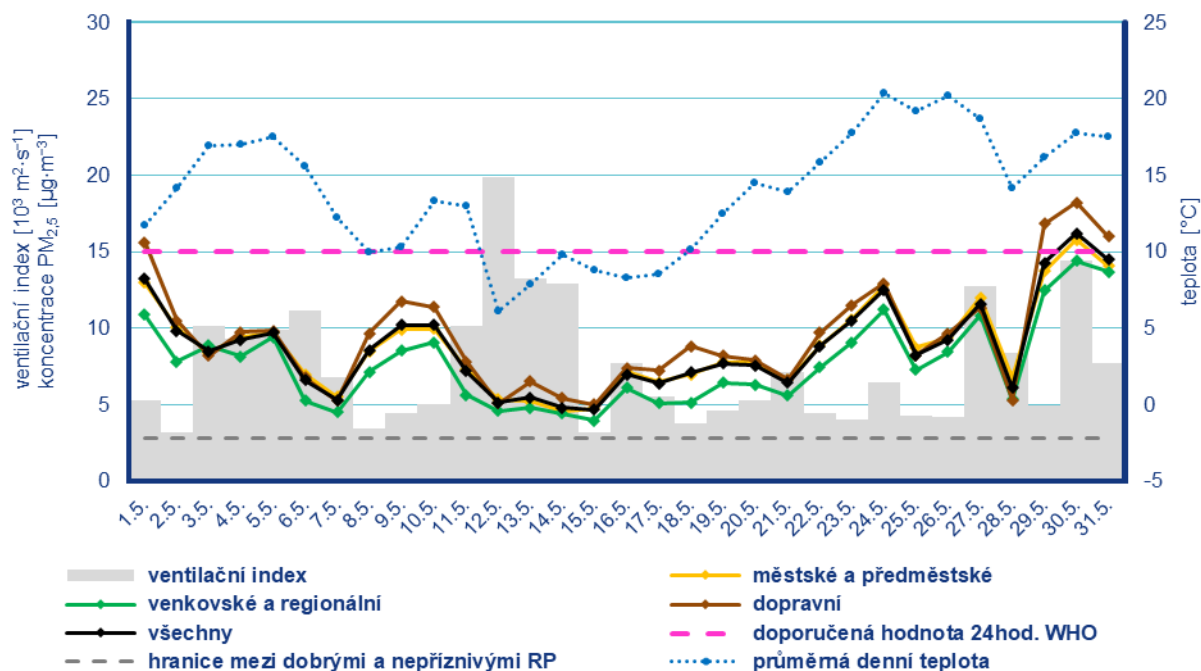
⁸ Průběh koncentrací je hodnocen pouze z meteorologického hlediska. Meteorologické a rozptylové podmínky jsou hlavním faktorem ovlivňujícím hodnoty koncentrací. Mezi další faktory patří např. množství emisí či rozložení zdrojů emisí.



■ procento překročení doporučené hodnoty WHO $15 \mu\text{g}\cdot\text{m}^{-3}$

Poznámka: V grafu je uvedeno 50 nejhorších stanic bez ohledu na úplnost dat.

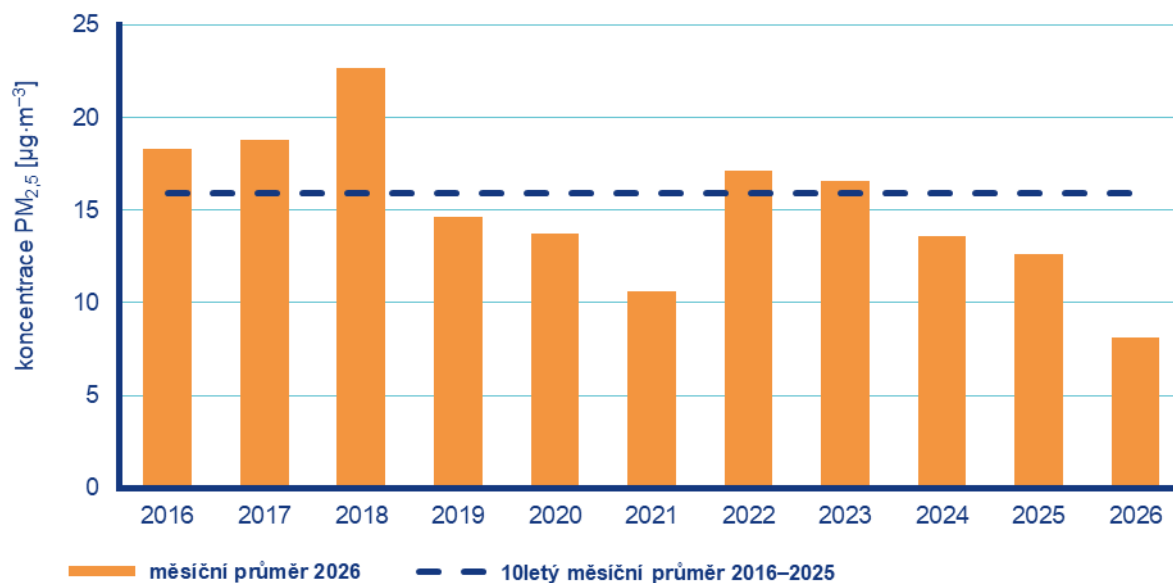
Obr. 4.3.1 Procento dní s překročením doporučené hodnoty WHO ($15 \mu\text{g}\cdot\text{m}^{-3}$) pro průměrnou 24hodinovou koncentraci $\text{PM}_{2.5}$, květen 2026



Poznámka: Průmyslové stanice jsou umístěny převážně v Moravskoslezském kraji; z tohoto důvodu nejsou průmyslové stanice uvedeny v grafu celorepublikových průměrů.

DRP = dobré rozptylové podmínky, MNRP = mírně nepříznivé rozptylové podmínky, NRP = nepříznivé rozptylové podmínky

Obr. 4.3.2 Vývoj průměrných denních koncentrací PM_{2,5}, celorepublikového průměru teploty vzduchu a celorepublikového průměru ventilačního indexu (model ALADIN), květen 2026



Obr. 4.3.3 Průměrné měsíční koncentrace PM_{2,5} v České republice, květen 2016–2026

4.4 Přízemní ozon O₃

Překročení imisního limitu pro maximální denní 8hod. průměr O₃ od počátku roku

Hodnota imisního limitu pro denní maximum klouzavého 8hodinového průměru O₃ je 120 µg·m⁻³. Legislativa připouští na měřicí stanici nejvíce 25 překročení hodnoty imisního limitu O₃ v průměru za tři roky; při vyšším počtu je imisní limit považován za překročený.

Během května došlo k překročení hodnoty imisního limitu na 42 z 64 stanic.

Imisní limit pro max. denní 8hod. průměr nebyl do konce května překročen na žádné stanici AIM (Obr. 4.4.1).

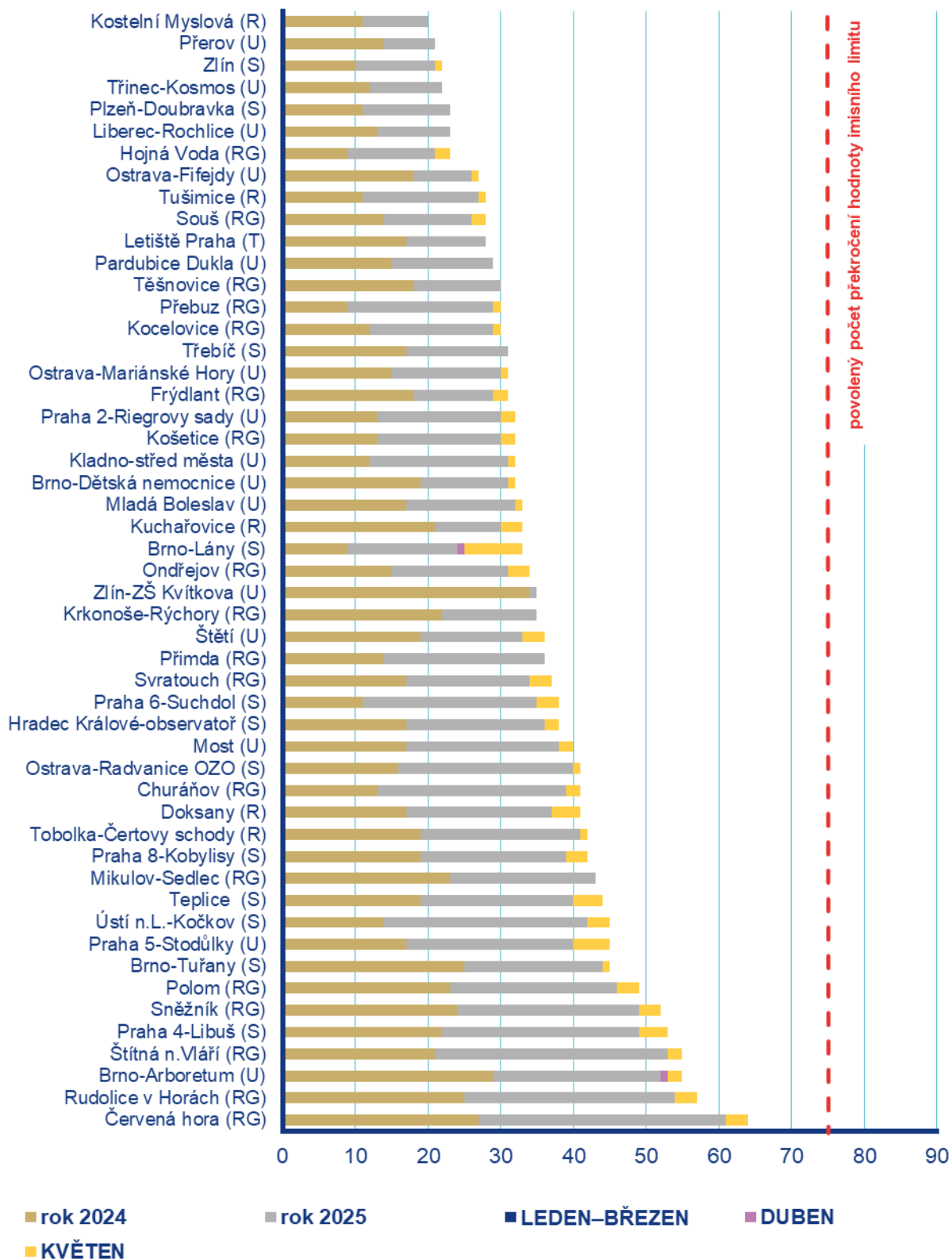
Měsíční chod maximálních denních 8hodinových koncentrací O₃

Maximální denní 8hodinové koncentrace O₃ zprůměrované pro jednotlivé typy stanic v květnu nepřekročily hodnotu imisního limitu (120 µg·m⁻³). K překročení doporučené hodnoty WHO (100 µg·m⁻³) docházelo v květnu na všech typech stanic (Obr. 4.4.2).

Na začátku května proudil po zadní straně tlakové výše do ČR teplý vzduch od jihu. Ve stabilním a suchém počasí se koncentrace pohybovaly nad doporučenou hodnotou a dosahovaly až k hodnotě IL. Přechod zvlněné studené fronty v polovině první dekády provázený srážkami zapříčinil pokles koncentrací pod doporučenou hodnotu, kde se udržely až do konce druhé dekády. Ve třetí dekádě ovlivňovala počasí v ČR tlaková výše se středem nad západní, postupně střední Evropou. Ve stabilním a slunečném počasí vystoupaly koncentrace nad doporučenou hodnotu. Závěr měsíce byl pak ve znamení přechodu zvlněného frontálního systému a poklesu koncentrací pod doporučenou hodnotu.

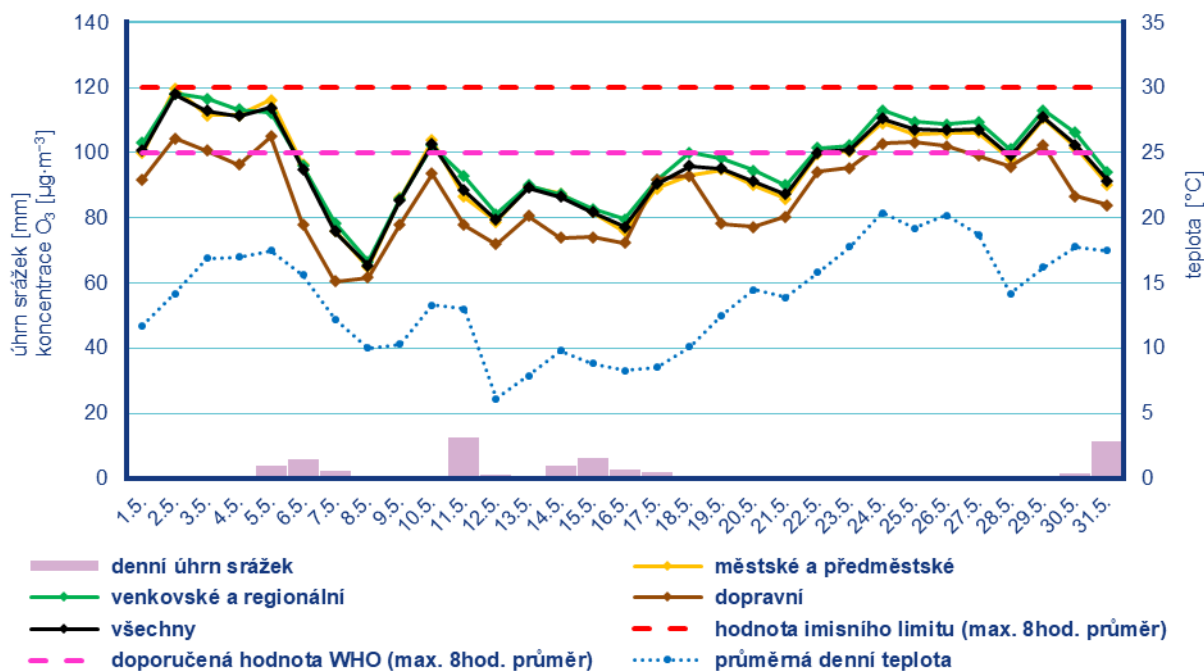
Průměrné měsíční koncentrace O₃

Celorepublikový měsíční průměr max. 8hod. koncentrací O₃ byl v květnu čtvrtý nejnižší za období 2016–2026 (Obr. 4.4.3). V porovnání s desetiletým průměrem (2016–2025) byly průměrné koncentrace O₃ o 3 % nižší.



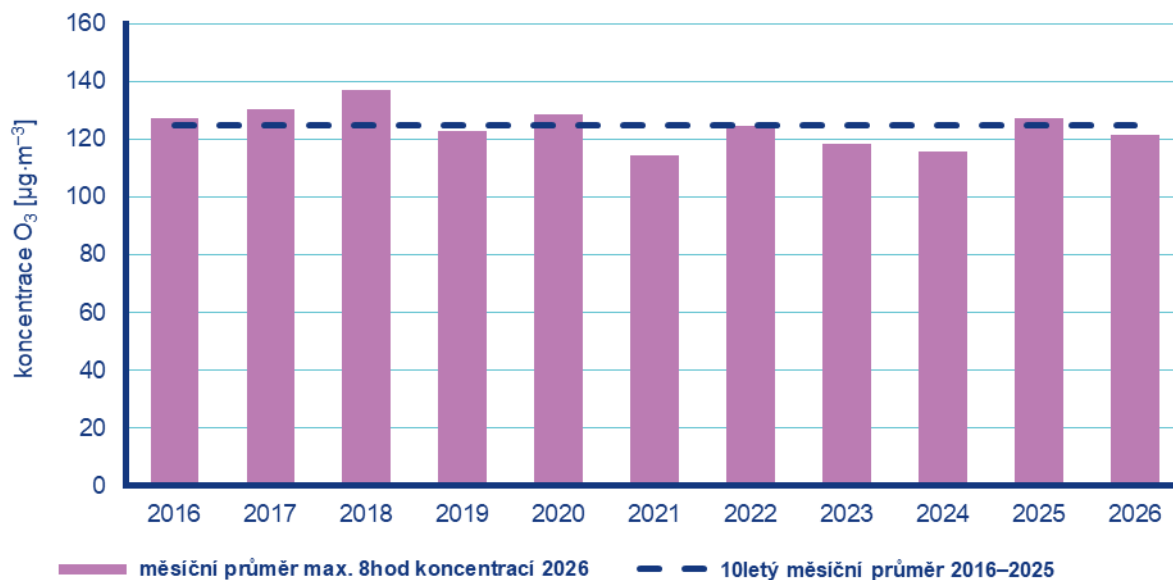
Poznámka: V grafu je uvedeno 50 nejhorších stanic bez ohledu na úplnost dat.

Obr. 4.4.1 Počet dnů, kdy maximální denní 8hodinová koncentrace O₃ překročila hodnotu imisního limitu (120 µg·m⁻³) na stanicích AIM, 2026



Poznámka: Průmyslové stanice jsou umístěny převážně v Moravskoslezském kraji; z tohoto důvodu nejsou průmyslové stanice uvedeny v grafu celorepublikových průměrů.

Obr. 4.4.2 Vývoj průměrných maximálních denních 8hod. koncentrací O₃, celorepublikového průměru teploty vzduchu a úhrnu srážek, květen 2026



Obr. 4.4.3 Průměrné měsíční 8hod. maximální koncentrace O₃ v České republice, květen 2016–2026

4.5 Ostatní látky

Oxid dusičitý NO₂

Hodnota hodinového imisního limitu NO₂ je 200 µg·m⁻³. Legislativa připouští na měřicí stanici nejvíce 18 překročení hodnoty imisního limitu, při vyšším počtu je imisní limit považován za překročený. Vzhledem k závažnosti vlivu NO₂ na lidské zdraví jsou v této zprávě hodnoceny krátkodobé koncentrace nejen vzhledem k imisnímu limitu, ale i vzhledem k doporučené hodnotě WHO pro ochranu lidského zdraví (25 µg·m⁻³, průměrná 24hodinová koncentrace).⁹

Hodnota hodinového imisního limitu pro NO₂ nebyla v květnu překročena na žádné z 91 stanic.

Doporučená hodnota WHO byla v květnu překročena na 13 stanicích z 87 (Obr. 4.5.1). Překročení doporučené hodnoty je vyjádřeno procentem dní, kdy byla na dané stanici průměrná denní koncentrace NO₂ vyšší než doporučená hodnota WHO.

Celorepublikový měsíční průměr koncentrací NO₂ byl v květnu druhý nejnižší za období 2016–2026. V porovnání s desetiletým průměrem (2016–2025) byly průměrné koncentrace NO₂ o 18 % nižší.

Oxid siřičitý SO₂

Hodnota hodinového imisního limitu SO₂ je 350 µg·m⁻³, hodnota 24hod. imisního limitu je 125 µg·m⁻³. Legislativa připouští na měřicí stanici nejvíce 24, resp. 3 překročení hodnoty imisního limitu, při vyšším počtu je imisní limit považován za překročený.

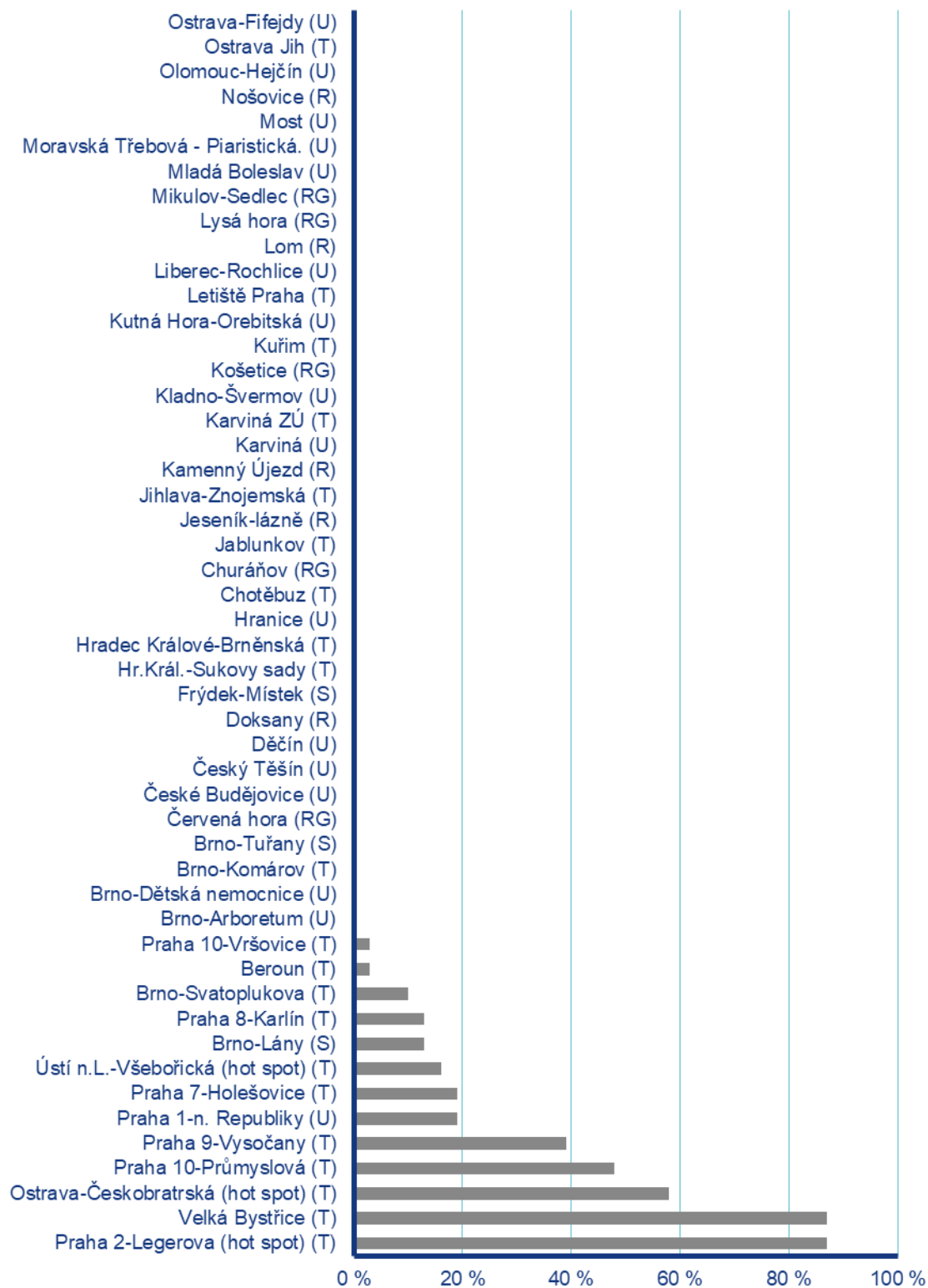
Hodnoty hodinového ani 24hod. imisního limitu pro SO₂ nebyly v květnu překročeny na žádné ze 48 stanic.

Celorepublikový měsíční průměr koncentrací SO₂ byl v květnu pátý nejnižší za období 2016–2026. V porovnání s desetiletým průměrem (2016–2025) byly průměrné koncentrace SO₂ o 9 % nižší.

Oxid uhelnatý CO

Denní maximum 8hodinových koncentrací oxidu uhelnatého (CO) nepřekročily v květnu 2026 hodnotu svého imisního limitu.

⁹ <https://iris.who.int/handle/10665/345329>



■ procento překročení doporučené hodnoty WHO $15 \mu\text{g}\cdot\text{m}^{-3}$

Poznámka: V grafu je uvedeno 50 nejhorších stanic bez ohledu na úplnost dat.

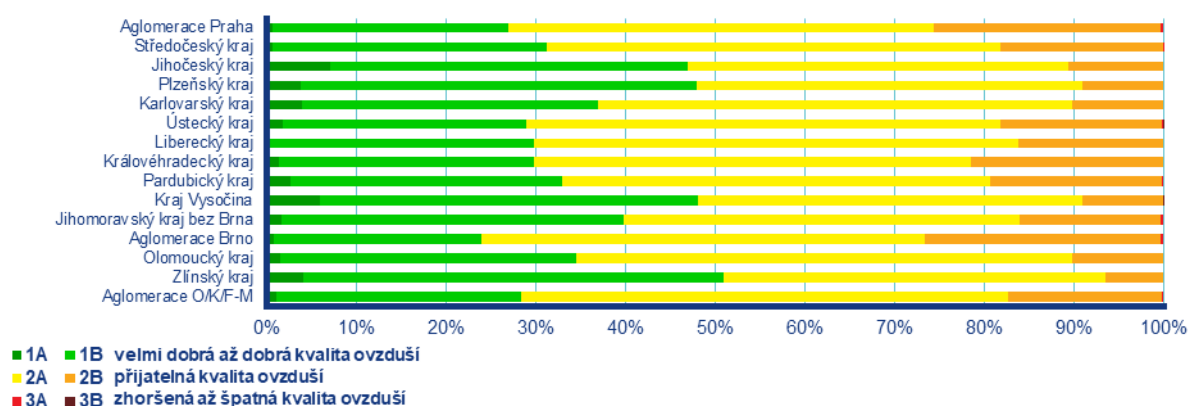
Obr. 4.5.1 Procento dní s překročením doporučené hodnoty WHO ($25 \mu\text{g}\cdot\text{m}^{-3}$) pro průměrnou 24hodinovou koncentraci NO_2 , květen 2026

4.6 Index kvality ovzduší

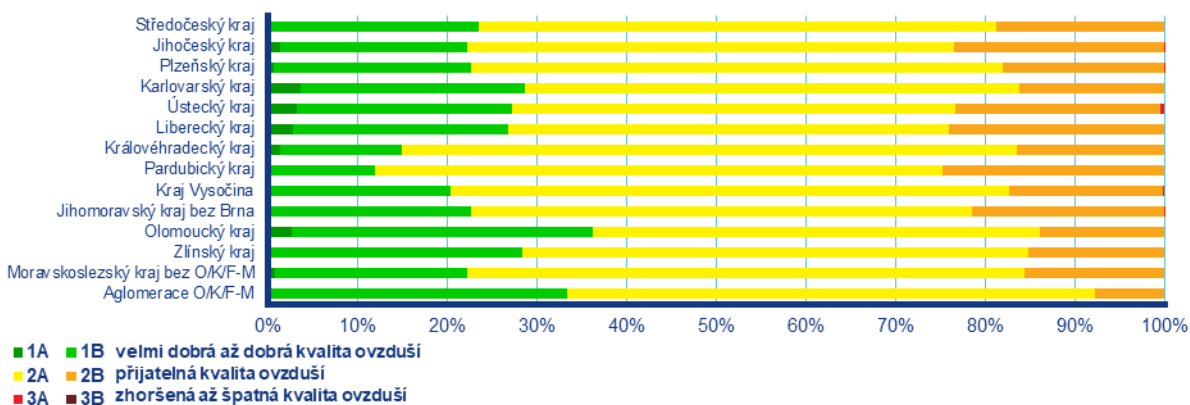
Během května byla na měřicích stanicích převážně přijatelná kvalita ovzduší¹⁰.

Na městských a předměstských stanicích se velmi dobrá až dobrá kvalita ovzduší vyskytovala nejčastěji ve Zlínském kraji (51 %) a dále v Plzeňském kraji a v Kraji Vysočina (48 %), naopak nejméně často v aglomeraci Brno (24 %; Obr. 4.6.1). Zhoršená až špatná kvalita ovzduší se vyskytovala v krajích Středočeském, Ústeckém a Pardubickém a v Kraji Vysočina, v Jihomoravském kraji včetně Brna a v aglomeracích Praha a O/K/F-M.

Na venkovských stanicích¹¹ se velmi dobrá až dobrá kvalita ovzduší vyskytovala nejčastěji v Olomouckém kraji (36 %), naopak nejméně často v Pardubickém kraji (12 %; Obr. 4.6.2). Zhoršená až špatná kvalita ovzduší se vyskytovala v Jihočeském, Plzeňském a Ústeckém kraji, v Kraji Vysočina a v Jihomoravském kraji bez Brna.



Obr. 4.6.1 Skladba indexu kvality ovzduší na městských a předměstských pozadových stanicích, květen 2026



Obr. 4.6.2 Skladba indexu kvality ovzduší na venkovských pozadových stanicích, květen 2026

¹⁰ http://portal.chmi.cz/files/portal/docs/uoco/web_generator/actual_3hour_data_CZ.html

¹¹ Pro venkovské stanice není ve všech krajích a aglomeracích k dispozici dostatek dat pro hodnocení.

4.7 Smogový a varovný regulační systém

V květnu nebyly vyhlášeny žádné smogové situace. Prahové hodnoty PM₁₀, NO₂, SO₂ a O₃ pro vyhlášení smogové situace či smogová situace s regulací/varováním nebyly překročeny na žádné lokalitě SVRS.

Kontakty

Mgr. Josef Hanzlík, e-mail: josef.hanzlik@chmi.cz
vedoucí oddělení Operativní služby
tel.: 244 032 761

RNDr. Lenka Crhová, Ph.D., e-mail: lenka.crhova@chmi.cz
vedoucí oddělení Všeobecné klimatologie
tel.: 244 032 250

RNDr. Radek Čekal, Ph.D., e-mail: radek.cekal@chmi.cz
vedoucí oddělení Hydrologických předpovědí
tel.: 244 032 356

doc. Dr. Ing. Martin Možný, e-mail: martin.mozny@chmi.cz
vedoucí oddělení Biometeorologických aplikací
tel.: 244 032 206

Ing. Václav Novák, e-mail: vaclav.novak@chmi.cz
vedoucí oddělení Informační systém kvality ovzduší (hodnocení kvality ovzduší)
tel.: 244 032 402

Mgr. Ondřej Vlček, e-mail: ondrej.vlcek@chmi.cz
vedoucí oddělení Modelování a expertíz (SVRS)
tel.: 244 032 488

Hana Stehlíková, DiS.
vedoucí oddělení Tiskové a informační
e-mail: info@chmi.cz
tel.: 244 032 722
www.chmi.cz